

تحلیل مورفولوژیکی مجرای رودخانه زرینه‌رود با استفاده از مدل رزگن

منصور خیری‌زاده اروق* - دانش‌آموخته دکتری ژئومورفولوژی، دانشکده جغرافیا و برنامه‌ریزی، دانشگاه تبریز
محمدحسین رضایی‌مقدم - استاد گروه ژئومورفولوژی، دانشکده جغرافیا و برنامه‌ریزی، دانشگاه تبریز
رسول دانش‌فراز - دانشیار گروه عمران، دانشکده فنی و مهندسی، دانشگاه مراغه
مصطفویه رجبی - استاد گروه ژئومورفولوژی، دانشکده جغرافیا و برنامه‌ریزی، دانشگاه تبریز

تاریخ دریافت: ۱۳۹۵/۸/۸ تاریخ پذیرش: ۱۳۹۶/۸/۳

چکیده

در این پژوهش مورفولوژیکی مجرای رودخانه زرینه‌رود با استفاده از مدل ژئومورفولوژیکی رزگن بررسی می‌شود. این پژوهش متکی بر نقشه‌های توپوگرافی مقیاس ۱:۲۰۰۰ و کارهای میدانی است. زرینه‌رود در بازه‌های بالا دست سد نوروزلو عمده‌تاً از نوع C رزگن است. این رودخانه از پایین دست شهر محمودآباد تا پایاب سد انحرافی نوروزلو به نمونه‌ای مشخص از رودخانه‌های نوع C4 با بستر گراوی و مورفولوژی خوب‌چه - خیزآب تبدیل می‌شود. بازه‌های نوع D، به صورت محلی، در مقاطعی دیده می‌شوند که فرسایش‌پذیری شدید مواد کناره و کنترل محدود پوشش گیاهی بسترهای عریض با نسبت‌های عرض به عمق بالا و پشتلهای نقطه‌ای فعال داخل مجرأ به وجود آورده‌اند. بازه‌های نوع G و F در امتداد سد نوروزلو تا شهر میاندوآب در نتیجه دخالت‌های انسانی - به صورت برداشت بی‌رویه شن و ماسه و گودافتادگی بسترهای رودخانه - به وجود آمده‌اند. این روند، به صورت منقطع، در امتداد پایین دست ادامه می‌یابد و رودخانه به بازه‌ای در حال گذار از نوع C به نوع F تبدیل می‌شود. زرینه‌رود در بازه انتهایی به رودخانه‌های نوع E تبدیل می‌شود. دخالت‌های نسبتاً کم عامل انسانی و دشت سیلابی هموار و توسعه‌یافته باعث افزایش نسبت گودشده‌گی شده است. همچنین، چسبندگی بالای مواد کناره به مقادیر پایین نسبت عرض به عمق منجر شده است.

کلیدواژه‌ها: پلان‌فرم، زرینه‌رود، مدل رزگن، مدل HEC-RAS، مورفولوژی.

مقدمه

یک اصل اساسی در ژئومورفولوژی بیان می‌کند که «فرم دلالت بر فرایند دارد.»^۱ به همین دلیل، طبقه‌بندی‌های ژئومورفیک بسیاری در رابطه با چشم‌اندازها، دامنه‌ها، و رودخانه‌ها توسعه یافته‌اند. پارادایم فرم - فرایند ابزار بالقوه قدرتمندی برای هدایت بررسی‌های ژئومورفیک کمی است (شروع، ۱۳: ۷۳۰). رودخانه‌ها، از منظر مورفولوژیکی، معمولاً دارای بازه‌های مشابه با الگوهای قابل تکرارند که این امر به تلاش‌های متعددی برای طبقه‌بندی آن‌ها منجر شده است (روپر و همکاران، ۴۱۷-۴۲۷؛ ۲۰۰۸). استفاده از هر گونه سیستم طبقه‌بندی رودخانه‌ای تلاشی است در جهت ساده‌کردن روابط پیچیده بین رودخانه‌ها و آبریزهای آن‌ها (کارگروه بازسازی رودخانه، ۲۰۰۱، ۲۰۰۸؛ فصل ۷: ۲۶). این سیستم‌های طبقه‌بندی اهداف مختلفی را دنبال می‌کنند؛ از جمله نیاز به الزامات قانونی برای استانداردهای زیستمحیطی؛ بهبود ارتباطات؛ ارائه درک بهتری از فرایندهای رودخانه‌ای (روپر و همکاران، ۴۱۷-۴۲۷؛ ۲۰۰۸؛ کاندولف

* نویسنده مسئول: ۹۳۷۰۶۱۶۳۸۱

۱. این اصل همیشه صادق نیست مخصوصاً در خصوص مسئله همپایانی (Equifinality).

2. The Federal Interagency Stream Restoration Working Group

و پیگی، ۲۰۰۳: ۱۷۸؛ سرویس حفاظت منابع طبیعی^۱، ۲۰۰۸، ضمیمه فنی ۳: E). سیستم‌های رودخانه‌ای دینامیک است و به طور مداوم به تغییرات بار رسواب، هیدرولوژی، و فرم پاسخ می‌دهد. در این شرایط، سیستم‌های طبقه‌بندی رودخانه‌ای به درک وضعیت حال و آینده یک سیستم رودخانه‌ای کمک می‌کنند (سرویس حفاظت منابع طبیعی، ۲۰۰۸، فصل ۳: ۱۶). بدیهی است که یک طرح طبقه‌بندی خطر ساده‌سازی بیش از حد یک سیستم بسیار پیچیده را نیز به همراه دارد (رزگن، ۱۹۹۴: ۱۶۹؛ گارد، ۲۰۰۶: ۸۷). اما دو هدف عمدۀ را می‌توان برای طبقه‌بندی رودخانه‌ها بیان کرد: ۱. درک علمی از نحوه عملکرد رودخانه‌ها؛ وجود آستانه‌های طبیعی ایجاد کننده پیچیدگی‌های طولی در مقیاس‌های فضایی مختلف و خوش‌بندی کانال‌ها به کلاس‌های همگن؛ ۲. ارائه رهنمودهای مدیریتی مبتنی بر ژئومورفو‌لوژی جهت تصمیم‌گیری درباره حفظ و نگهداری^۲، بهبود، بازسازی^۳ یا حفاظت^۴ کانال. در این مورد، معیارهای ژئومورفیکی ممکن است با معیارهایی از سایر رشته‌ها (از قبیل اکولوژی و شیمی آب) ترکیب شود (کاندولف و پیگی، ۲۰۰۳: ۱۷۷).

در طی دهه‌های گذشته، طبقه‌بندی‌های ژئومورفیک بسیاری در رابطه با رودخانه‌ها ایجاد شده و توسعه یافته است (کاندولف و پیگی، ۲۰۰۳: شرودر، ۲۰۱۳). این طبقه‌بندی‌ها با استفاده از معیارهای عینی، کیفی، یا کمی انجام گرفته است (گارد، ۲۰۰۶: ۸۷). رویکردهای اولیه بر ساختار تکوینی و تکاملی رودخانه‌ها مرکز بوده است که توسط تکتونیک و ساختمان زمین‌شناسی تحت تأثیر قرار می‌گیرد (شرودر، ۲۰۱۳: ۷۳۱). دیویس (۱۸۹۹) رودخانه‌ها را، بسته به مرحله توسعه آن‌ها، در چرخه فرسایش، به رودخانه‌های جوان، بالغ، و پیر تقسیم کرد (گارد، ۲۰۰۶: ۸۷؛ کاندولف و پیگی، ۲۰۰۳: ۱۷۸). سپس، سیستم‌های طبقه‌بندی دیگری بر اساس ویژگی‌های کیفی و توصیفی رودخانه‌ها توسط ملتون^۵ (۱۹۳۶) و ماتهس^۶ (۱۹۵۶) توسعه یافت (رزگن، ۱۹۹۴: ۱۶۹). اغلب مبانی سیستم‌های جدید طبقه‌بندی رودخانه‌ها در دهه ۱۹۵۰ و ۱۹۶۰ با کارهای لئوپلد و ولمن^۷ (۱۹۵۷)، لین^۸ (۱۹۵۷)، و شوم^۹ (۱۹۶۳) بنیان گذاشته شد (سرویس حفاظت منابع طبیعی، ۲۰۰۸، فصل ۳: ۱۶). لین (۱۹۵۷) داده‌های حاصل از رودخانه‌هایی با بستر ماسه‌ای و مواد درشت‌تر را تحلیل کرد و رودخانه‌ها را براساس پلان‌فرم به الگوهای مستقیم، مئاندری، و گیسویی^{۱۰} تقسیم کرد. همچنین، نشان داد که پلان‌فرم‌ها اساساً تابعی از شبیب و دبی لب‌پری‌اند. لئوپلد و ولمن (۱۹۵۷) طبقه‌بندی مشابه لین را دنبال کردند (گارد، ۲۰۰۶: ۸۸). این طرح اولیه طبقه‌بندی الگوها پایه و اساسی محسوب شد که طرح‌های طبقه‌بندی پیچیده‌تری از آن‌ها منشعب شد (مارتین، ۲۰۰۵: ۷). روست^{۱۱} (۱۹۷۸) رودخانه‌ها را براساس سینوزیته و یک پارامتر گیسویی طبقه‌بندی کرد. کلرهالس^{۱۲} و همکاران (۱۹۷۶) نوعی طبقه‌بندی ارائه کردند بر اساس ۱. پلان‌فرم (مستقیم، سینوسی، نامنظم، و مئاندرهای منظم)؛ ۲. جزایر (فقدان، تصادفی، و متناوب)؛ ۳. پشته‌های کانال و اشکال اصلی بستر (پشته‌های کناره کانال، پشته‌های نقطه‌ای، و پشته‌های وسط کانال)؛ ۴. فعالیت جانبی کانال (غیرقابل تشخیص، پیشروی^{۱۳} در جهت پایین دست، و پیشروی همراه با میان‌برها). بریس^{۱۴} (۱۹۸۴) رودخانه‌ها را براساس سینوزیته، پشته‌های نقطه‌ای، گیسویی‌شدن، و

1. Natural Resources Conservation Service
2. Maintenance
3. Restoration
4. Melton
5. Matthes
6. Leopold and Wolman
7. Lane
8. Schumm
9. Braided
10. Rust
11. Kellerhals
12. progression
13. Brice

آنابرنچینگ طبقه‌بندی کرد (کروسوato، ۲۰۰۸: ۳۱). شوم (۱۹۷۷) کانال‌های آبرفتی را براساس تأمین یا عرضه رسوب طبقه‌بندی کرد. او سه نوع رودخانه را تعریف کرد: کانال‌هایی با بار بسترهای به واسطه نسبت‌های عرض به عمق بالا، سینوزیتۀ پایین، و گیسویی‌شدن مشخص می‌شوند؛ کانال‌هایی با بار مختلط؛ و کانال‌هایی با بار معلق، با نسبت‌های عرض به عمق پایین، سینوزیتۀ بالا، و مئاندرشدن. شوم طرح طبقه‌بندی خود را مجدداً با ارتباط‌دادن نوع پلان فرم مجراء به تأمین رسوب و توان رودخانه ارائه کرد. سپس، رویکرد مشابهی توسط وان دن برگ^۱ (۱۹۹۵) دنبال شد (کروسوato، ۲۰۰۸: ۳۳). می‌توان گفت که اغلب طبقه‌بندی‌های رودخانه بر طبقه‌بندی الگوی کانال مشتمل‌اند (هندسه پلان فرم، از قبیل مستقیم، مئاندری، یا گیسویی) (شروعدر، ۲۰۱۳: ۷۳۲). الگوی کانال همچنین یک ممیزی اولیه در طرح‌های طبقه‌بندی توسعه یافته توسط پاوستین^۲ و همکاران (۱۹۹۴)، روزگن (۱۹۹۲)، و بریلی و فریرز^۳ (۲۰۰۵) است (شروعدر، ۲۰۱۳: ۷۳۴). رویکردهای جدید طبقه‌بندی رودخانه بر تحلیل‌های حوضه‌ای مرتب با مدیریت اراضی و بازسازی رودخانه تمرکز دارد. استفاده از یک رویکرد سلسله‌مراتبی درک کلنگتری از فرایندهای حوضه‌ای را امکان‌پذیر می‌کند (شروعدر، ۲۰۱۳: ۷۳۹). سیستم‌های رودخانه‌ای به صورت ذاتی می‌توانند سلسله‌مراتبی درنظر گرفته شوند که واحدهای کوچک‌تر در داخل واحدهای بزرگ‌تر جای گرفته‌اند. در یک مقیاس کاهشی، این مدل شامل چشم‌انداز یا منطقه اکولوژیکی، دشت سیلابی یا کریدور (سگمنت‌های دره)، بازه کانال، واحدهای خاص کانال (از قبیل حوضچه‌ها و خیزآب‌ها)، و ریزبوم‌هاست (کاندولف و پیگی، ۲۰۰۳: ۱۷۳). در این زمینه، یکی از متداول‌ترین سیستم‌های طبقه‌بندی سلسله‌مراتبی مجرأ توسط رزگن^۴ (۱۹۹۴ و ۱۹۹۷) توسعه یافت که به طور گستردگی از آن استفاده می‌شود (شروعدر، ۲۰۱۳: ۷۴۲). در زمینه مدل رزگن نیز محققان داخلی چندین پژوهش انجام داده‌اند که می‌توان به روستایی و همکاران (۱۳۹۲)، لایقی و کرم (۱۳۹۳)، یمانی و تورانی (۱۳۹۳)، و خیریزاده آروق (۱۳۹۵) اشاره کرد. هدف از پژوهش حاضر تحلیل ژئومورفولوژیکی مجرای رودخانه زرینه رود با بهره‌گیری از مدل سلسله‌مراتبی رزگن است.

منطقه مورد مطالعه

رودخانه زرینه‌رود (جیغاتی‌چای) مهم‌ترین و پُرآب‌ترین رود حوضه آبریز دریاچه ارومیه است. این رودخانه دارای حوضه آبریز گسترده‌ای است و در حدود ۱۱۸۱۳ کیلومتر مربع از زمین‌های استان‌های آذربایجان شرقی، آذربایجان غربی، و کردستان را زهکشی می‌کند. رودخانه زرینه‌رود از کوه‌های چهل‌چشمه کردستان (بین سفر و بانه) سرچشمه می‌گیرد و از گوشۀ جنوب‌شرقی وارد دریاچه ارومیه می‌شود. طول این رودخانه بیش از ۲۰۰ کیلومتر است. در این پژوهش، بازه‌ای از رودخانه زرینه‌رود به طول تقریبی ۱۳۰ کیلومتر مطالعه می‌شود. این بازه از بالادست شهر شاهین‌دژ و در محل تلاقی رودخانه فصلی قوره‌چای با مختصات جغرافیایی ۰۵° ۳۳' ۴۶'' طول شرقی و ۲۲° ۳۶' ۳۶'' عرض شمالی شروع می‌شود و تا شوره‌زارهای دریاچه ارومیه با مختصات جغرافیایی ۰۹° ۳۵' ۴۵'' طول شرقی و ۳۵° ۳۷' ۰۹'' عرض شمالی امتداد می‌یابد (شکل ۱). رودخانه زرینه‌رود در بازه مطالعاتی، پس از عبور از مجاورت شهرهای شاهین‌دژ، محمودآباد، کشاورز، و میاندوآب، وارد دریاچه ارومیه می‌شود. سد شهید کاظمی در فاصله سال‌های ۱۳۴۶ تا ۱۳۵۰ بر روی این رودخانه احداث شد. چهار انشعاب اصلی رودخانه زرینه‌رود یعنی سقزچای، جیغاتچای، خورخوره‌چای، و ساروق‌چای منبع تغذیه این سد

1. Van den Berg

2. Paustian

3. Brierley and Fryirs

4. Rosgen

می‌باشد. در ۸۰ کیلومتری پایین‌دست سد مخزنی شهید کاظمی و ۱۵ کیلومتری جنوب‌شرق میاندوآب سد انحرافی نوروزلو در سال ۱۳۴۶ بر روی این رودخانه ساخته شده که سدی بتی با سریز آزاد است.

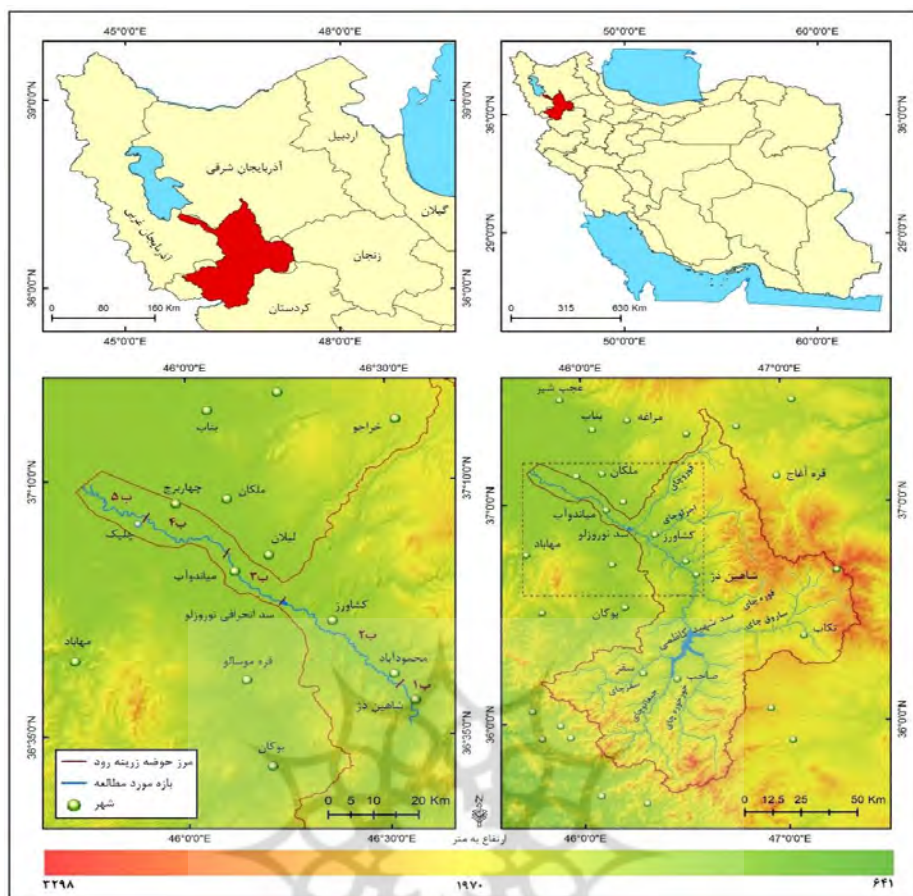
رودخانه زرینه‌رود از پایاب سد مخزنی شهید کاظمی تا مصب خود، با توجه به نقش سد انحرافی نوروزلو بر رژیم دبی، به دو بازةً مشخص (بالادست و پایین‌دست سد نوروزلو) قابل تقسیم است. همچنین، براساس متغیرهای مختلف، از قبیل پلان‌فرم مجراء، کنترل‌های زمین‌شناسی، عرض دشت سیلابی، مواد بستر، و اثرهای آنتروپوژنیک می‌تواند به پنج بازةً مختلف تقسیم شود (شکل ۱): بازةً ۱ از ابتدای بازةً مطالعاتی زرینه‌رود شروع می‌شود و در حدفاصل شهرک صنعتی شاهین‌دژ و شهر محمودآباد خاتمه می‌یابد. مورفولوژی مجراء تا حد زیادی در کنترل متغیر زمین‌شناسی است. مواد تشکیل‌دهنده بستر عمدهً شامل قله‌سنگ و پاره‌سنگ است. بازةً ۲ از بالادست محمودآباد شروع می‌شود و تا محل سد انحرافی نوروزلو امتداد می‌یابد. مجرای رودخانه دارای یک دشت سیلابی توسعه‌یافته و تا حدی نامتقارن است. این بازه، نمونه‌مشخصی از رودخانه‌هایی با بستر گراوی است. افزایش عرض دشت سیلابی و دسترسی رودخانه به مواد فرسایش‌پذیر کناره‌ها، مخصوصاً رسوبات مخروطافکنهای انشعابی محمودآباد و کشاورز، باعث افزایش دینامیک عرضی مجرأ در این بازه شده است. در این بازه، اشکال ژئومورفولوژیکی مربوط به فرایندهای رودخانه‌های مئاندری به فراوانی قابل مشاهده است. بازةً ۳ از پایاب سد انحرافی نوروزلو تا شهر میاندوآب امتداد می‌یابد. در این بازه، پلان‌فرم رودخانه در نتیجه اقدامات انسانی به کلی دگرگون می‌شود و به شبه‌مئاندری و مئاندری توسعه‌یافته تبدیل می‌شود. بازةً ۴ منطبق بر بخش میانی مخروطافکنه زرینه‌رود است و از پایین‌دست میاندوآب تا محدوده رostای چلیک امتداد می‌یابد. در این بازه نیز دخالت‌های انسانی زیاد است؛ اما، پلان‌فرم مجراء هنوز الگوی مئاندری خود را تا حدودی حفظ کرده است. بازةً ۵ از انتهای بازةً فوق شروع می‌شود و تا سوره‌زارهای دریاچه ارومیه کشیده می‌شود. دخالت‌های انسانی، نسبت به دو بازه بالادست، کاهش محسوسی می‌یابد. درصد درخور توجهی از مواد بستر و کناره‌های رودخانه متشکل از سیلت و رس است. پلان‌فرم این بازه از نوع مئاندری توسعه‌یافته است (خیری‌زاده، ۱۳۹۵؛ خیری‌زاده و همکاران، ۱۳۹۶).

مواد و روش‌ها

این پژوهش متنکی بر کارهای میدانی و نقشه‌های توپوگرافی مقیاس ۱:۲۰۰۰ سازمان آب منطقه‌ای استان آذربایجان غربی است که برای بازه مورد مطالعه از زرینه‌رود در حدود ۱۵۵ برقه است. همهٔ این نقشه‌ها به یک پایگاه داده جغرافیایی^۱ تبدیل شد و پس از اصلاح و رفع خطاهای توپوگرافیکی، مدل شبکه نامنظم مثلثاتی (TIN)، و مدل رقومی ارتفاعی (DEM) با قدرت تفکیک ۱ متر) منطقه ایجاد شد. نقشه‌های زمین‌شناسی مقیاس ۱:۱۰۰۰۰۰ (سازمان زمین‌شناسی)، تصاویر ماهواره‌ای SPOT و Google Earth، و داده‌های ایستگاه‌های هیدرومتری (که مهم‌ترین آن‌ها شامل ایستگاه ساری‌قمیش در بالادست و ایستگاه نظام‌آباد در پایین‌دست بازةً مطالعاتی است) به عنوان سایر داده‌های ضروری تحقیق محسوب می‌شوند. به منظور گرانولومتری رسوبات بستر رودخانه، از ابزارهای آزمایشگاهی شامل دستگاه نمونه‌بردار مدل وان وین گرب^۲، شیکر، ترازوی دیجیتال، و کولیس استفاده شد.

1. Geodatabase

2. Van Veen Grab- Bottom Sampler



شکل ۱. موقعیت جغرافیایی بازه مورد مطالعه رودخانه زرینه رود

برای تحلیل‌های مورفولوژیکی مجرای رودخانه، از سیستم سلسله‌مراتبی رزگن استفاده شد. رویکرد رزگن شامل چهار مقیاس تحلیل است که از ممیزی بزرگ‌مقیاس لندرم و انواع دره تا اندازه‌گیری‌های کوچک‌مقیاس فرایندهای فیزیکی (از قبیل انتقال بار بستر و فرسایش کناره) و موجودی‌های^۱ بیولوژیکی (پوشش گیاهی و ارگانیسم‌های آبزی) را شامل می‌شود (شروع، ۷۴۲: ۲۰۱۳). اما، در بیشتر موارد، بر روی دو سطح نخست، یعنی خصوصیات ژئومورفیک کلی (سطح ۱) و توصیف مورفولوژیکی (سطح ۲) تمرکز می‌کنند (رزگن، ۱۹۹۴: ۱۶۹-۱۹۹). در این تحقیق، با توجه به هدف و داده‌های موجود، سطح ۱ و سطح ۲ سیستم رزگن بررسی می‌شود. در سیستم رزگن از شش سنجه مورفولوژیکی استفاده می‌شود که عبارت‌اند از: گودشدگی؛ نسبت عرض به عمق؛ سینوزیته؛ تعداد مجراء؛ شیب؛ اندازه دانه مواد بستر. از این معیارها برای تعریف هشت کلاس اصلی رودخانه با حدود ۹۰ نوع رودخانه خاص استفاده می‌شود (کارگروه بازسازی رودخانه، ۲۰۰۱، فصل ۷: ۲۹) (شکل ۲). روش محاسبه این معیارهای ممیزی^۲ به شرح ذیل است:

گودشدگی: گودشدگی^۳ به صورت محسوس شدن گودی رودخانه و میزان حفر در کف دره تعریف می‌شود. بیان کمی این ویژگی به صورت «نسبت گودشدگی» است که عبارت است از: نسبت عرض ناحیه سیل‌گیر به عرض سطح لب پری مجراء. ناحیه سیل‌گیر به صورت عرض اندازه‌گیری شده در ارتفاع دو برابر حداقل عمق لب پری تعریف می‌شود. مشاهدات

1. Inventories
2. Delineative criteria
3. Entrenchment

میدانی نشان می‌دهد که این ارتفاع، ارتفاع یک سیل متناوب (دوره بازگشت پنجاه‌ساله) یا کمتر است و نه ارتفاع یک سیلاب نادر. نسبت‌های گودشدگی ۱-۱/۴ نشان دهنده آبراهه‌های گودشد، ۲/۲-۴/۱ نشان دهنده آبراهه‌هایی با گودشدگی متوسط، و نسبت‌های بیشتر از ۲/۲ آبراهه‌هایی با گودشدگی اندک (دشت سیلابی به خوبی توسعه یافته) است. نسبت عرض به عمق: این نسبت، نسبت عرض مجرای لب‌پری به عمق میانگین لب‌پری است. دبی لب‌پری به عنوان حداکثر جریان پیک لحظه‌ای تعریف می‌شود که چند روز در سال اتفاق می‌افتد و اغلب مربوط به دبی با دوره بازگشت ۱/۵ ساله است (رزگن، ۱۹۹۴: ۱۶۹). درواقع، رزگن از تعریف دون و لئوپلد^۱ از لب‌پری استفاده کرد: دبی‌ای که حرکت رسوب، تشکیل یا تخریب پشته‌ها، شکل‌گیری یا تغییر خم‌ها و مئاندرها، و عموماً اجرای کار را صورت می‌دهد و به خصوصیات مورفوژیک میانگین مجرأ منجر می‌شود. دبی لب‌پری و ارتفاع حاصله در محدوده دوره بازگشت معمولاً ۱ تا ۳ سال بر روی یک منحنی فراوانی سالانه با غلیظه مقادیر اتفاق‌افتداده در محدوده ۱/۲ تا ۱/۸ سال قرار می‌گیرد. برای انواع کanal C، D، E، که تنها اندکی گود شده‌اند، تعریف رزگن از لب‌پری و تعریف دون و لئوپلد بسیار مشابه‌اند. برای کanal نوع B، که به طور متوسط گود شده است، یا انواع کanal‌های A، F، و G، که گود شده‌اند، لب‌پری رزگن در ارتفاع بسیار پایین‌تر از رأس کناره‌ها واقع می‌شود (سرویس حفاظت منابع طبیعی، ۲۰۰۸، فصل ۳: ۲۹). سینوزیته: سینوزیته نسبت طول آبراهه به طول دره است. همچنین، می‌تواند نسبت شیب دره به شیب مجرأ تعریف شود (رزگن، ۱۹۹۴: ۱۶۹).

مواد کanal: براساس اندازه D₅₀، مواد کanal به شش طبقه تقسیم می‌شود: ۱. سنگ بستر (>2048 mm)، ۲. تخته‌سنگ (256 mm to 2047.9 mm)، ۳. قلوه‌سنگ (64 mm to 255.9 mm)، ۴. گراول (2 mm to 63.9 mm)، ۵. ماسه (0.062 mm to 1.99 mm)، ۶. سیلت/رس (0.062 mm <). در تحقیق حاضر، برای دانه‌بندی و محاسبه D₅₀ رسوبات بستر رودخانه در بازه‌های بالادست، که مواد تشکیل‌دهنده بستر عمدتاً شامل پاره‌سنگ^۲ و قلوه‌سنگ^۳ است، از روش شمارش قلوه‌سنگ^۴ توسعه یافته توسط ولمن^۵ (۱۹۵۴) استفاده شد. داده‌های شمارش قلوه‌سنگ به صورت درصد تجمعی و درصد توزیع کل ترسیم می‌شود. در سایر بازه‌ها، روش برداشت حجمی رسوبات بستر با استفاده از دستگاه نمونه‌بردار وان وین گرب انجام گرفت. برای بازه مطالعاتی زرینه‌رود، روش شمارش قلوه‌سنگ و برداشت حجمی در ۶۷٪ مقطع صورت گرفت.

شیب: شیب سطح آب اهمیت عمده‌ای در ویژگی مورفوژیکی مجرأ، رسوب، هیدرولیک، و عملکرد بیولوژیکی آن دارد و از طریق اندازه‌گیری اختلاف ارتفاع سطح آب در واحد طول آبراهه تعیین می‌شود. محاسبه شیب می‌تواند به سادگی و با دقت بسیار زیاد با استفاده از نرم‌افزارهای سیستم اطلاعات جغرافیایی انجام گیرد.

در سیستم رزگن، تعیین پارامترهای نسبت گودشدگی و نسبت عرض به عمق لب‌پری از اهمیت بسیار زیادی برخوردار است. در تحقیق حاضر، برای محاسبه این پارامترها از مدل هیدرودینامیکی HEC-RAS به همراه الحقی HEC-GeoRAS استفاده شد. داده‌های جریان برای HEC-RAS شامل رژیم جریان، اطلاعات دبی، شرایط اولیه، و شرایط مرزی است (مرواد، ۲۰۰۴: ۲۹). برای جریان ماندگار متغیر تدریجی^۶، روش اصلی محاسبه بروفیل‌های سطح آب

1. Dunne and Leopold

2. Cobble

3. Pebble

4. Pebble count

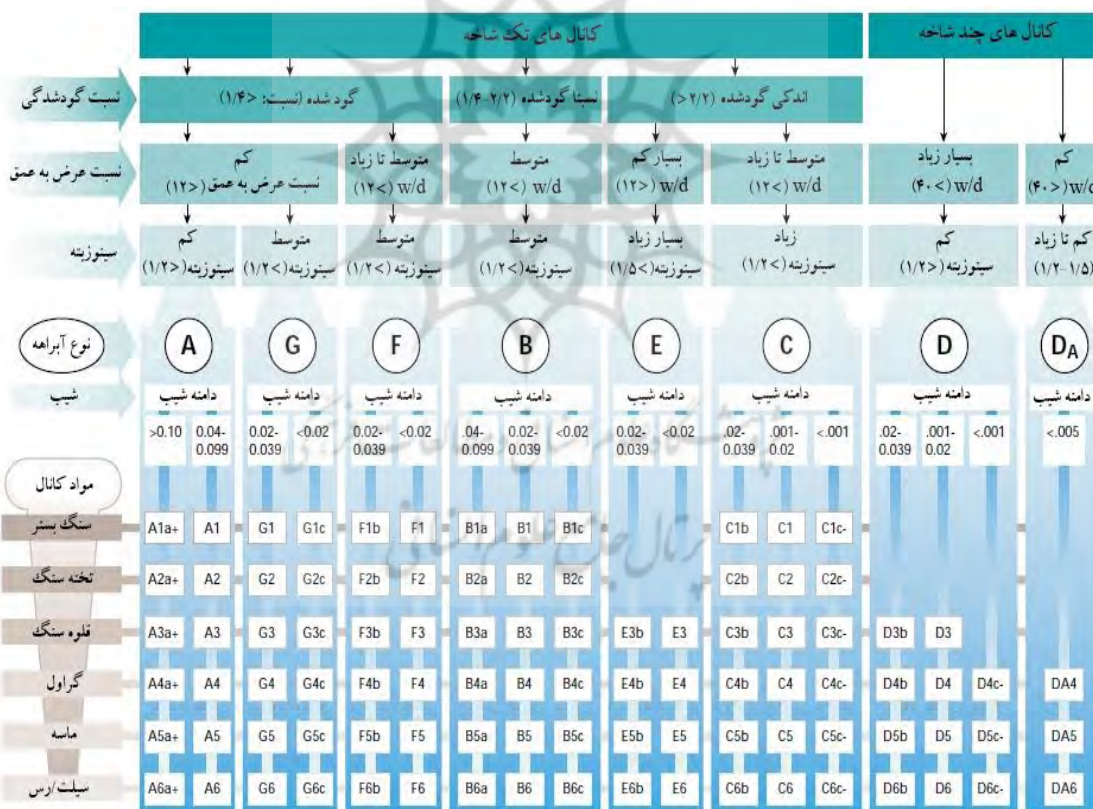
5. Wolman

6. Steady gradually varied flow

بین مقاطع عرضی روش گام مستقیم نامیده می‌شود. روش اصلی محاسباتی مبتنی بر حل تکرارشونده معادله انرژی است. با توجه به جریان و ارتفاع سطح آب در یک مقطع عرضی، هدف از روش گام استاندارد محاسبه ارتفاع سطح آب در مقطع عرضی مجاور است. معادله انرژی (معادله برنولی^۱) به صورت زیر بیان می‌شود (مرکز مهندسی هیدرولوژیک، ۲۰۱۰، فصل ۲:۲):

$$Z_2 + Y_2 + \frac{a_2 V_2^2}{2g} = Z_1 + Y_1 + \frac{a_1 V_1^2}{2g} + h_e \quad (1)$$

که در آن Z_1 و Z_2 تراز کف مجرای اصلی، Y_1 و Y_2 عمق آب در مقاطع عرضی، V_1 و V_2 متوسط سرعت جریان (دبی) کل تقسیم بر مساحت جریان کل)، a_1 و a_2 ضرایب وزنی سرعت، g شتاب ثقلی، و h_e افت هد انرژی است (برای معادلات به فصل دوم منبع فوق مراجعه شود). در این پژوهش، برای محاسبات دوره‌های بازگشت و رابطه دبی - اشل از داده‌های ایستگاه‌های هیدرومتری واقع بر مجرای اصلی و انشعابات استفاده شد. همچنین، برای تعیین توزیع ضریب اصطکاک (ضریب زبری مانیگ) مجرای دشت سیلابی، نقشه پوشش زمین با استفاده از تصاویر ماهواره‌ای Google Earth و مطالعات میدانی تهیه شد.



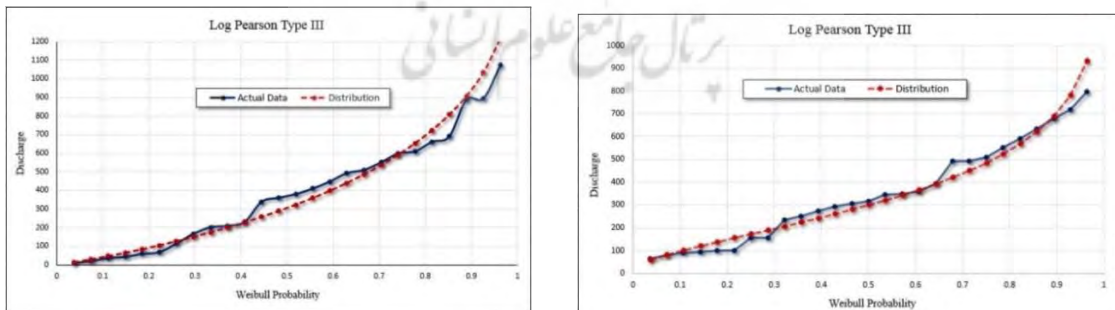
شکل ۲. کلید طبقه‌بندی رودخانه‌های طبیعی در سیستم رزگن (سطح ۲) (کارگروه بازسازی رودخانه، ۲۰۰۱، فصل ۷: ۳۲؛ رزگن، ۱۹۹۷: ۱۱-۱)

یافته‌های تحقیق

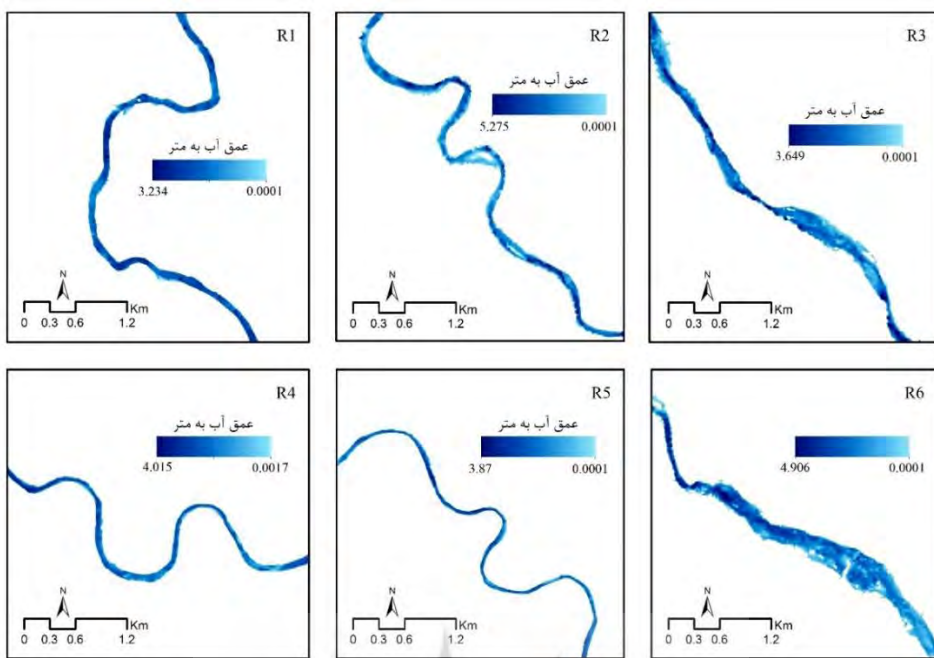
پهنه‌های سیل‌گیر رودخانه

توابع توزیع و روش‌های تخمین مختلفی برای برآورد توزیع فراوانی سیلاب وجود دارد. روش‌های توصیه شده توسط سازمان‌های فدرال امریکا براساس برآش توزیع پیرسون تیپ ۳ به لگاریتم‌های مبنای ۱۰ دبی‌های پیک است (کارگروه بازسازی رودخانه، ۲۰۰۱، فصل ۷: ۵؛ کمیته فراوانی سیلاب‌های رودخانه‌های امریکا، ۱۹۹۹: ۳۹). برای داده‌های پیک سالانه ایستگاه‌های رودخانه زرینه‌رود انواع توابع توزیع متداول - شامل توزیع نرمال، ۲ پارامتر لوگ نرمال، ۳ پارامتر لوگ نرمال، گامبل اکسترمال تیپ ۱، پیرسون تیپ ۳، و لوگ پیرسون تیپ ۳ - برآش داده شد و سرانجام توزیع لوگ پیرسون تیپ ۳ بهترین توزیع انتخاب شد (شکل‌های ۳ و ۴). برای مجرای رودخانه در بالادست سد انحرافی نوروزلو، یک سیلاب با دوره بازگشت ۱/۳۳ ساله، یعنی دبی با مقدار ۱۷۴ متر مکعب در ثانیه (ای ساری‌قمیش)، می‌تواند دبی لبپری درنظر گرفته شود. این دبی در اغلب بخش‌ها مقاطع عرضی را کاملاً پُر می‌کند. برای مجرای رودخانه در پایین‌دست سد نوروزلو، به رغم مشارکت دبی انشعابات فصلی و مسیل‌ها، به دلیل تأخیر و برداشت آب در محل سد نوروزلو، دبی لبپری تقریباً منطبق با سیلاب با دوره بازگشت ۱/۵ ساله (۱۶۹ متر مکعب در ثانیه در ای نظام‌آباد) است (شکل ۵). ذکر این نکته مهم است که این مقدار دبی فقط در بازه‌های پایین‌دست توانایی پُرکردن مجرأ را بدون سرریزی دارد. درواقع، مجرای رودخانه زرینه‌رود از پایاب سد نوروزلو تا پایین‌دست شهر میاندوآب چنان گود افتاده است که در بسیاری از بخش‌ها حتی یک سیلاب با دوره بازگشت پنجاه‌ساله نیز قادر به پُرکردن مقطع عرضی نیست.

در پژوهش حاضر، برای محاسبه پهنه‌های سیل‌گیر رودخانه از مدل هیدرودینامیکی HEC-RAS استفاده شد. در شکل ۷ پهنه‌های سیل‌گیر و در شکل ۶ مساحت نواحی سیل‌گیر رودخانه نشان داده شده است. در بازه‌های بالادست سد نوروزلو و بازه انتهایی، روند افزایش مساحت پهنه‌های سیل‌گیر برای سیلاب‌ها تا دوره بازگشت ده‌ساله (مخصوصاً پنج‌ساله) دارای آهنگ نسبتاً زیادی است. این روند برای دوره‌های بازگشت بالاتر به طور محسوسی کاهش می‌یابد. درنتیجه، استفاده از ناحیه سیل‌گیر با دوره بازگشت پنجاه‌ساله و کمتر می‌تواند معرف ناحیه در معرض سیلاب مدل رزگن باشد.



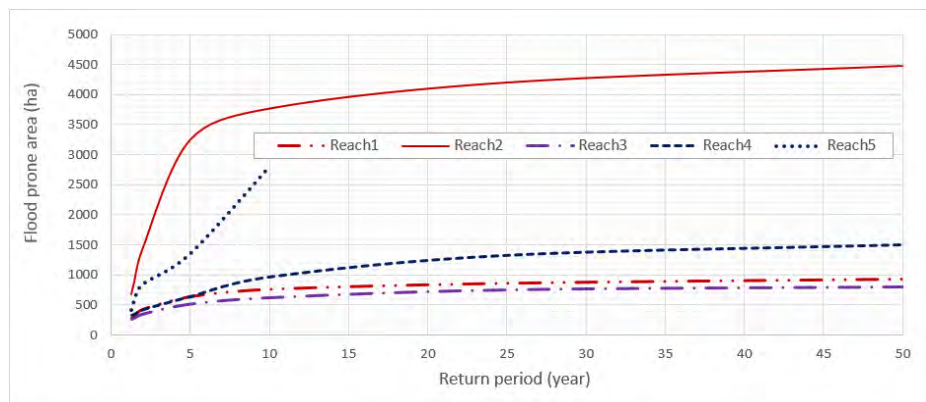
شکل ۴. برآش توزیع فراوانی پیرسون تیپ ۳ به لگاریتم‌های جریانات پیک سالانه ای ساری‌قمیش



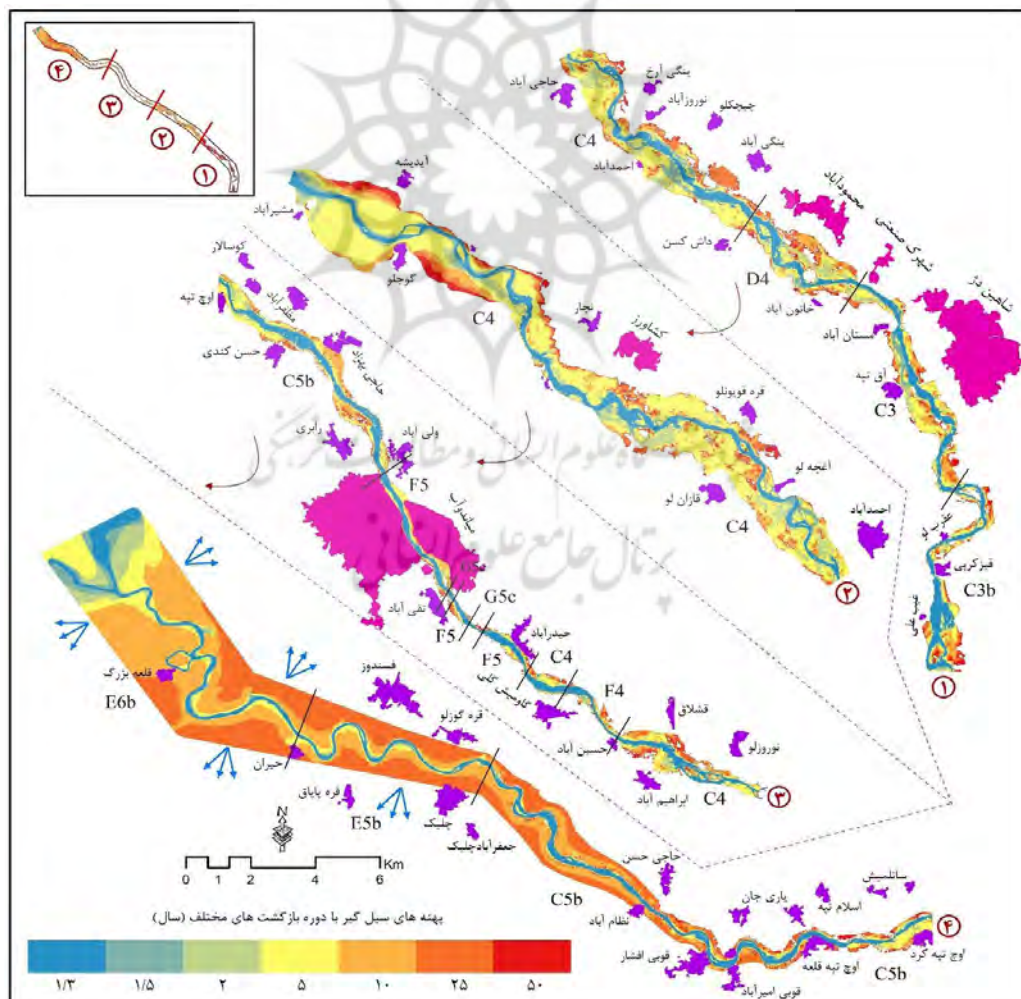
شکل ۵. عمق آب برای سیالاب‌هایی با دوره بازگشت $1/3$ ساله در بخش‌هایی از بازه‌های مختلف زرینه‌رود: R1 بازه ۱؛ R2 بازه ۲؛ R3 بازه ۳؛ R4 بازه ۴، و R5 بازه ۵. عرض شدگی بستر رودخانه در نتیجه برداشت شن و ماسه در بازه‌های پایاب سد انحرافی نوروزلو (R3 و R6)

در بازه‌های بالا دست سد انحرافی نوروزلو و بازه انتهایی، ژئومورفولوژی منطقه نقش اساسی در میزان سیل‌گیری رودکنار ایفا می‌کند. در بازه ۱، به علت کم عرض بودن دشت سیالابی، پهنه‌های سیل‌گیر نیز محدودند. در این بازه، یک سیالاب، با دوره بازگشت ۲۵ ساله، بیشتر بخش‌های دشت سیالابی را دربر می‌گیرد و فقط برخی تراس‌ها و پشت‌های رسوبی موجود در دشت سیالابی غرقاب نمی‌شوند. در بازه ۲، با افزایش عرض دشت سیالابی، بر پهنه‌های سیل‌گیر نیز افزوده می‌شود. در این بازه نیز ویژگی‌های ژئومورفولوژیکی دشت سیالابی نقش زیادی در میزان سیل‌گیری حاشیه رودخانه دارد؛ به طوری که کاهش پهنه‌های سیل‌گیر در محدوده شهر کشاورز ناشی از تأثیر مخروط‌افکنه انشعابی اجرلوچای در دست راست رودخانه است. بخش‌های بالا دست و میانی این مخروط‌افکنه، به سبب مورفولوژی محدب و برجسته، مصون از سیالاب‌هایی بازگشت مختلف زرینه‌رود است. علاوه بر این، وجود واحد کوهستان در بالا فصل کناره مقابله، سدی در برابر پخش سیالاب به شمار می‌رود. بر عکس، در محدوده تالاب نوروزلو، سیالاب‌ها به دلیل عرض زیاد و هموار بودن دشت سیالابی در گستره وسیعی پخش می‌شوند. این محدوده در پایین دست تلاقی اجرلوچای (به عنوان مهم‌ترین انشعاب بازه مطالعاتی رودخانه زرینه‌رود) قرار گرفته است. همچنان، رودخانه قوروچای مستقیماً به این تالاب متنه می‌شود. در نتیجه، پهنه‌های سیل‌گیر افزایش بسیار زیادی می‌یابند. مساحت پهنه‌های سیل‌گیر در حد فاصل روستاهای قره‌قویونلو و قازان‌لو نیز در خور توجه است. در این محدوده، عرض پهنه‌های سیل‌گیر برای یک سیالاب با دوره بازگشت ۲۵ ساله به بیش از $2/3$ کیلومتر می‌رسد. در بخش‌های پایین دست رودخانه نیز سیالاب‌هایی با دوره‌های بازگشت بالاتر در گستره وسیعی پخش می‌شوند. گودافتادگی اندک مجراء، شب بسیار ملایم، و عرض زیاد دشت سیالابی و نزدیکی به سطح اساس از مهم‌ترین دلایلی است که عرض سیل‌گیری را افزایش می‌دهد. نکته حائز اهمیت دیگر کم عرض بودن پهنه‌های سیل‌گیر در بازه‌های ۳ و ۴ است. در واقع، در این بازه‌ها، به واسطه برداشت بیش از حد شن و

ماسه، بستر رودخانه چنان در دشت سیلابی گود افتاده است که در بسیاری از مقاطع سیلاب‌هایی با دوره بازگشت پنجاهم‌الله نیز قادر به سرریزی نیستند و می‌توان بیان کرد که ارتباط بین مجرای رودخانه و دشت سیلابی قطع شده است.



شکل ۶. نمودار تجمعی مساحت پهنه‌های سیل‌گیر برای دوره‌های بازگشت مختلف



شکل ۷. پهنه‌های سیل‌گیر دشت سیالابی رودخانه زرینه‌رود (به صورت تجمعی) با دوره‌های بازگشت مختلف

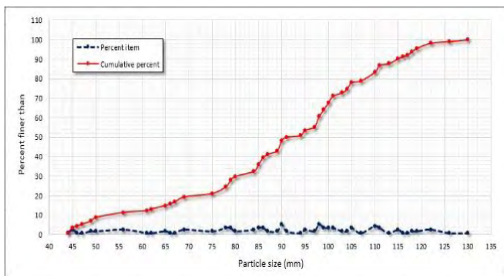
تحلیل نتایج مدل رزگن

بازه‌بندی رودخانه زرینه‌رود با ادغام و تفکیک قطعاتی از بازه‌های اولیه منطبق بر انواع اصلی رودخانه رزگن است. همچنین، هر بازه، با توجه به تعییرات محلی، به بازه‌های فرعی مجدد تقسیم می‌شود.

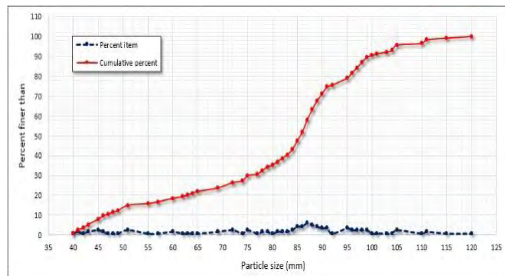
بازه ۱

در بازه ۱، عرض دشت سیلابی به دلیل کنترل متغیر زمین‌شناسی از نوسان زیادی برخوردار است. یک سیلاب با دوره بازگشت ۲۵ ساله تقریباً کل دشت سیلابی را دربر می‌گیرد و سیلاب‌هایی با دوره بازگشت بالاتر بر عمق، سرعت، تنش برشی، و توان رودخانه می‌افزایند. به دلیل توان زیاد رودخانه، رسوبات در اندازه‌های گراول و ماسه بسیار کم است و غلبه با قلوه‌سنگ و پاره‌سنگ است که بستر رودخانه را تا حدودی آرمورینگ کرده‌اند (برای نمونه، شکل ۱۰). برای حاصل‌شدن توزیع اندازه‌های مواد بستر و محاسبه D_{50} رسوبات از روش شمارش قلوه‌سنگ و لمن استفاده شد (برای نمونه، شکل‌های ۸ و ۹). براساس محاسبات صورت‌گرفته، این بازه در اغلب بخش‌ها از نوع C3 (برای نمونه، شکل ۱۱) و در چند مقطع محدود که عرض دره و دشت سیلابی، به دلیل کنترل متغیر زمین‌شناسی، کاهش محسوسی می‌یابد از نوع B است. به دلیل محدودیون مقاطع نوع B، با اندکی اغماص می‌توان کل این بازه را از نوع C درنظر گرفت که، با توجه به متغیرهای شبیه و مواد بستر، در طبقه C3b در بالادست و C3 در پایین دست قرار می‌گیرند. نسبت گودشده‌گی از ۱/۳ تا ۱۶/۶ در نوسان است. میانگین این پارامتر در حدود ۷/۵ با ضریب تعییرات ۵۵ درصد است. بالابودن ضریب تعییرات در ارتباط با عرض متغیر دشت سیلابی به دلیل کنترل متغیر زمین‌شناسی است. فقط در چند مقطع محدود، گذر از نوع C به نوع B وجود دارد که با اعمال مفهوم پیوستگی رزگن می‌توانند در طبقه C قرار گیرند. پیوستگی برای نسبت‌های گودشده‌گی اجازه تعییر ۰/۲ ± واحدی بدون تعییر نوع رودخانه را می‌دهد. در این بازه، نسبت عرض به عمق در همه مقاطع بیشتر از ۱۲ است. میانگین این پارامتر ۱۷/۸ با ضریب تعییرات ۳۳/۹ است. در این بازه، سینوزیته از تعییرپذیری فضایی زیادی برخوردار است و در کل بازه از ۱/۰۱ (سینوزیته پایین) تا ۱/۴۴ (سینوزیته بالا) متغیر است. هرچند براساس مفهوم پیوستگی، نوسان ۰/۰ ± واحدی این پارامتر بدون تعییر نوع رودخانه مجاز است. میانگین زاویه مرکزی کورنیس در حدود ۸۵ درجه است و پلان‌فرم مجرأ در مزر بین الگوی مئاندری توسعه‌یافته و توسعه‌یافته قرار می‌گیرد. الگوی مئاندری توسعه‌یافته در بخش‌هایی از دره شکل گرفته است که دارای دشت سیلابی نسبتاً توسعه‌یافته است.

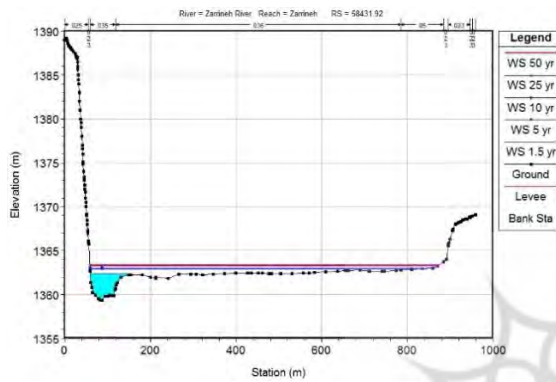
رودخانه‌های نوع C دارای انرژی متوسط و بار رسوب بالاست. اتلاف انرژی از طریق مئاندرها، اشکال بستر (با غلبه حوضچه- خیزآب)، و پوشش گیاهی صورت می‌گیرد. همچنین، رودخانه‌های نوع C3 دارای پتانسیل بازیابی خوب، عرضه رسوب متوسط، پتانسیل متوسط فرسایش کناره، و کنترل بسیار بالای پوشش گیاهی است. با اینکه در رودخانه‌های نوع C3 بار رسوبی بالاست، بخش زیادی از رسوبات حوضه زهکشی زرینه‌رود در پشت سد مخزنی شهید کاظمی تهشین می‌شود. از طرف دیگر، در این بازه، تلاقي مهمی که توانایی عرضه رسوب فراوان به مجرای رودخانه را داشته باشد وجود ندارد. تنها انشعاب مهم رودخانه قوره‌چای است که در بیشتر ایام سال خشک است. بنابراین، ظرفیت حمل رسوب این بازه بیش از عرضه رسوب است. با اینکه متوسط توان رودخانه نسبت به بازه‌های دیگر بالاست و به صورت بالقوه توان فرسایشی رودخانه زیاد است، فرسایش کناره به دلیل کنترل متغیرهای زمین‌شناسی و پوشش گیاهی نسبتاً پایین تا متوسط است. کفکنی بستر رودخانه نیز با دارابودن رسوبات درشت‌دانه تا حد زیادی محدود شده است. فقدان یا گسترش اندک پشت‌های نقطه‌ای در این بازه را می‌توان به محدودبودن عرضه رسوب نسبت داد.



شکل ۹. نمودار توزیع اندازه ذرات بستر رودخانه در محدوده بالادست شاهین‌دز با قطر میانه ۹۲ میلی‌متر



شکل ۸. نمودار توزیع اندازه ذرات بستر رودخانه در محدوده شاهین‌دز با قطر میانه ۸۶ میلی‌متر



شکل ۱۱. نمونه‌ای از مقطع نوع C در بازه ۱



شکل ۱۰. قلوه‌سنگ‌ها و پاره‌سنگ‌های مواد غالب بستر رودخانه در بازه ۱

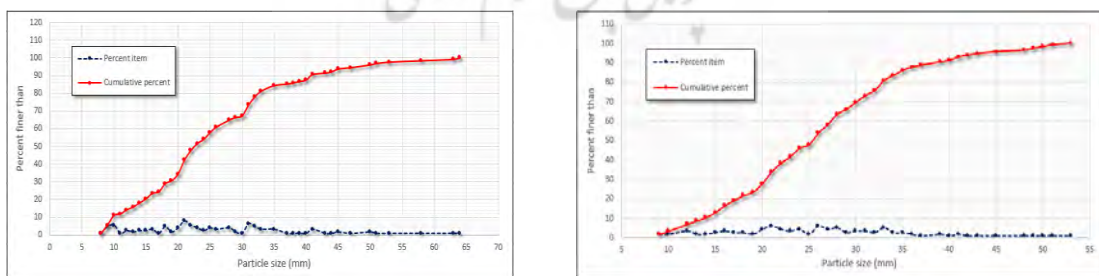
بازه ۲

در محدوده محمودآباد (ابتدای بازه ۲) تغییرات چشم‌گیری در مشخصه‌های ژئومورفولوژیکی رودخانه زرینه‌رود نمایان می‌شود. عرض دشت سیلانی توسعه در خور توجهی می‌یابد و کنترل‌های زمین‌شناسی کم‌رنگ‌تر می‌شود. ویژگی بارز دیگر، تغییر مواد لایه دربرگیرنده^۱ مجرای است. از این منظر، رودخانه زرینه‌رود به نمونه بسیار مشخصی از رودخانه‌هایی با بستر گراوی تبدیل می‌شود که تا پایاب سد انحرافی نوروزلو امتداد می‌یابد. مجرای رودخانه در ابتدای این بازه، یعنی در محل تلاقی رودخانه جوشاتوچای، رفتاری متمایل به رودخانه‌های گیسویی نمایش می‌دهد و در بازه‌ای کوتاه به نوع D4 تبدیل می‌شود. این شرایط به صورت محلی در سراسر بازه ۲ دیده می‌شود که با توجه به مقیاس نقشه‌های خروجی قابل نمایش نیست.

بازه‌های نوع D4 دارای تأمین بسیار بالای رسوب (و درنتیجه بار رسوبی زیاد)، پتانسیل بسیار بالای فرسایش کناره، و کنترل متوسط پوشش گیاهی است. انرژی این نوع از رودخانه‌ها پایین تا متوسط است و از طریق کناره‌ها و رسوبات اتلاف می‌شود. با توجه به مطالعات میدانی، تغییرپذیری فضایی، قابلیت فرسایش مواد کناره همراه با کنترل ضعیف پوشش گیاهی از دلایل اساسی شکل‌گیری نوع D در بازه‌هایی از بازه ۲ است. کناره‌هایی که به سرعت در حال فرسایش‌اند به مقاطع عرضی کم‌عمق عریض منجر می‌شوند (کروساتو، ۲۰۰۸؛ ۲۳: ۲۰۰۸). درواقع، رودخانه‌های گیسویی^۲ هنگامی ظاهر می‌شوند که کناره‌ها سست‌اند (پارکر، ۱۹۷۹؛ ۱۱۸۵-۱۲۰۱؛ پائولا و همکاران، ۲۰۰۱؛ ۹۴: ۲۰۰۸). کناره‌های سست به عریض‌شدن کanal منجر می‌شود و تشکیل پشت‌های داخل مجرأ را مساعدت می‌کند (لاوئر و پارکر، ۲۰۰۸؛

1. Substrate
2. Braided

۱۴۹_۱۲۳؛ اشمور، ۱۹۹۱؛ ۵۲_۳۷). در این بخش‌های رودخانه زرینه‌رود، فرسایش‌پذیری زیاد مواد کناره به تنظیم جانبی فعال منجر شده است. درواقع، کناره‌های دست راست رودخانه منطبق بر موادی است که تحت تأثیر دبی‌های سریزی مجرى اصلی رودخانه زرینه‌رود و آوردهای رسوی فراوان جوشاتچای در طی سیلاب‌ها شکل گرفته است و توالی خاص لایه‌بندی رسوبات (به صورت لایه‌هایی با غلبه گراول و لایه‌هایی با غلبه رس و ماسه) مواد کناره را در مقابل فرایندهای فرسایشی بسیار آسیب‌پذیر کرده است (برای نمونه، شکل ۱۵). درنتیجه، حجم زیادی از رسوبات، مخصوصاً در طی سیلاب‌ها، از کناره‌های رودخانه و دشت سیلابی وارد مجرای رودخانه می‌شود و یکی از پیش‌نیازهای اساسی گیسویی‌شدن، یعنی فراوانی عرضه رسوب (هیکس و همکاران، ۲۰۰۰؛ ۱۱۴۲_۱۱۲۹)، مهیا می‌شود. علاوه بر این، پوشش گیاهی رودکنار عمدتاً به صورت درختچه‌های تنک گز و درختان پراکنده بید است که با توجه به تراکم پایین و فرسایش‌پذیری زیاد مواد کناره نقش محدودی در پایداری کناره‌ها ایفا کرده‌اند. بنا به گفته مورای و پائولا^۱، گیسویی‌شدن نشان‌دهنده نوع پلان‌فرم پیش‌فرض رودخانه‌ها در رسوبات غیرچسبناک فاقد پوشش گیاهی است. کناره‌هایی با پوشش گیاهی تنک به همراهشدن با رودخانه‌های گیسویی تمایل دارند (کروساوتو، ۲۰۰۸؛ ۴۰). در این بخش‌ها، فرسایش‌پذیری زیاد مواد کناره‌ها باعث عریض و کم‌عمق‌شدن بستر رودخانه و درنتیجه افزایش نسبت عرض به عمق شده است (بیشتر از ۴۰) (برای نمونه، شکل ۱۶). این پارامتر، در برخی مقاطع به ۶۵ نیز می‌رسد. این امر مقدار سینوزیته را به صورت محلی کاهش داده است. این قطعات به هنگام دبی‌های لب‌پری و سریزی به بخش‌هایی با عرضه رسوب بالا تبدیل می‌شوند که، با توجه به کم‌رسوب‌بودن جریان بازه اول، حجم زیادی از رسوبات از محل برداشت می‌شود. رسوبات در اندازه‌های گراول‌های ریزدانه، ماسه، سیلت، و رس از محل تخلیه شده و رسوبات درشت‌تر باقی مانده‌اند که از نوع گراول‌های درشت‌دانه‌اند (برای نمونه، شکل‌های ۱۲ و ۱۳). درواقع، در پشت‌های نقطه‌ای این بازه، مقادیر اندکی از رسوبات در اندازه‌های ماسه و ریزتر، به رغم حضور فراوان این رسوبات در کناره‌ها و دشت سیلابی، وجود دارد. بنابراین، در بخش‌هایی از بازه ۲، تمایل محلی به رفتار گیسویی به واسطه غلبه رسوبات منفصل (ماسه و گراول) و عدم تثبیت کناره‌ها توسط پوشش گیاهی مساعدت شده است. این رفتار، به طور محلی، به صورت پشت‌های نقطه‌ای^۲ داخل ماجرا و ایجاد میان‌برهای شوت^۳ منعکس شده است. با توجه به اینکه فرایند میان‌برهای شوت ارتباط نزدیکی با انتقال از یک الگوی مئاندری به گیسویی دارد (کلین هانس و وان‌دن‌برگ، ۲۰۱۱؛ ۷۳۸_۷۲۱؛ زولزی و همکاران، ۲۰۱۲؛ ۱۴)، این گونه رفتارهای آستانه‌ای در بازه ۲ را می‌توان به فراوانی عرضه محلی رسوب نیز نسبت داد.



شکل ۱۳. نمودار توزیع اندازه ذرات بستر رودخانه در محدوده محمودآباد با قطر میانه ۲۶ میلی‌متر

1. Murray and Paola
2. Point bar
3. Chute cutoff



شکل ۱۵. دشت سیلابی در محدوده محمودآباد با مواد بسیار فرسایش پذیر و درختچه‌های پراکنده

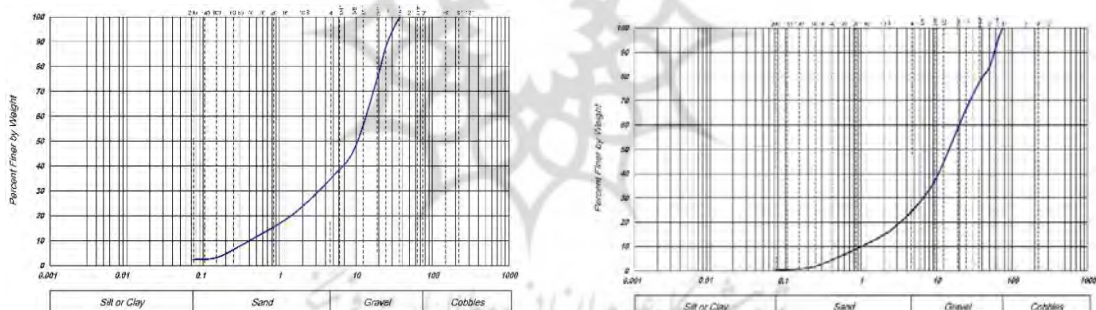


شکل ۱۶. الگوی متمایل به گیسویی در محدوده محمودآباد. بستر عریض و کم عمق باعث افزایش قابل توجه نسبت عرض به عمق شده است

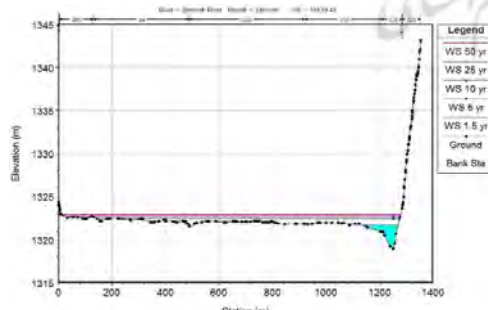
ساختمانی بازه ۲ نمونه بسیار مشخصی از رودخانه‌های نوع C است (برای نمونه، شکل ۱۶) که، با توجه به میزان شبی و مواد بستر، به نوع C4 تعلق دارند. در این بازه، مقادیر پارامتر نسبت گودشگی بین حداقل ۶/۴ تا حداقل ۲۹/۶ در نوسان است. میانگین این پارامتر ۱۸/۲ با ضریب تغییرات ۳۴/۶ درصد است. مقادیر نسبت عرض به عمق بین حداقل ۱۴/۷ و حداقل ۴/۰ متغیر است. میانگین این پارامتر ۲۵/۴ با ضریب تغییرات ۲۸/۵ درصد است. مقادیر حداقل این پارامتر، به صورت محلی، در مقاطعی دیده می‌شود که به علت فرسایش پذیری شدید و فقدان یا محدودبودن پوشش گیاهی کناره تنظیم جانبی بسیار فعال است که این امر به ایجاد مقاطع عریض همراه با پشتله‌های نقطه‌ای داخل مجرأ منجر شده است. انواع رودخانه‌های C دارای دید مسطحاتی مئاندری همراه با پشتله‌های نقطه‌ای فعال‌اند. برای این بازه، میانگین سینوزیته در حدود ۱/۳ است. مقادیر زاویه مرکزی کورنیس عمدها در دامنه بین ۸۵ تا ۱۵۸ درجه قرار می‌گیرد که از نوع مئاندری توسعه‌یافته است. این موارد نشان می‌دهد که این بازه نمونه‌ای تیپیک از رودخانه‌های نوع C است که با دارابودن شبکه کمتر از ۰/۰۲ و مواد بستر متصل از گراول از نوع C4 است. هرچند، با توجه به تغییرپذیری فضایی قابلیت فرسایش مواد کناره، دانه‌بندی رسوبات بستر رودخانه از رژیم آشفته‌ای برخوردار است. همچنان که قابل انتظار است و نتایج گرانولومتری نمونه‌های رسوب برداشت‌شده نیز نشان می‌دهد (برای نمونه، شکل‌های ۱۶ و ۱۷)، یک روند کاهشی در درصد و اندازه گراول‌ها در جهت پایین دست دیده می‌شود. استثنای اصلی مربوط به محل تلاقی رودخانه اجرلوچای است که، در طی سیلاب‌ها، رسوبات درشت‌دانه‌ای در اندازه‌های گراول درشت و حتی قلوه‌سیگ را وارد مجرای رودخانه می‌سازد و، به صورت محلی، روند کاهش قطر رسوبات را آشفته می‌کند. اجرلوچای انشعابی پُرانژی است که، با منحرف کردن مسیر مجرای رودخانه زرینه‌رود، مخروط‌افکنه‌ای انشعابی با مساحتی در حدود ۱۳ کیلومتر مربع را در طی دوره کواترنری ایجاد کرده است.

بازه ۲ دارای دره‌ای باز و عریض همراه یک دشت سیلابی توسعه‌یافته است و، از نظر دینامیک جانبی، پویاترین بازه رودخانه زرینه‌رود است. تراس‌ها، کانال‌های متروک، پشتله‌های پیچشی، و میان‌برها مهم‌ترین ویژگی‌های ژئومورفولوژیکی این بازه به‌شمار می‌رود. این بازه مشخصه‌های کامل رودخانه‌های نوع C4 را نشان می‌دهد؛ بهنحوی که دارای تأمین رسوب بالا، پتانسیل بسیار بالای فرسایش کناره، و کنترل بسیار بالای پوشش گیاهی است. درواقع، پوشش گیاهی در ترکیب با قابلیت فرسایش مواد کناره تعیین‌کننده میزان تنظیم جانبی و پایداری این بازه است. بیشتر مئاندرهای این بازه فعال‌اند که در برخی موارد اراضی کشاورزی حاشیه رودخانه را بهشدت فرسایش می‌دهند. عرضه رسوب عمدها درنتیجه فرسایش کناره‌های خارجی مئاندرها صورت می‌گیرد که همراه گسیختگی توده‌ای در کناره‌های

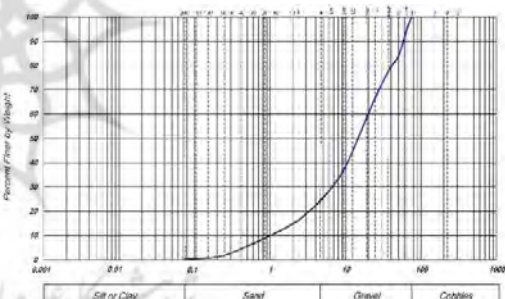
رسی است. این گونه ناپایداری‌های ژئومکانیکی مخصوصاً در جاهایی اتفاق می‌افتد که کناره‌ها پُرشیب و مرتفع‌اند یا توسط فرسایش پای کناره دچار زیربردگی^۱ شده‌اند (شکل ۱۸). در این بازه، رودخانه زرینه رود به نمونه مشخصی از رودخانه‌های گراولی با مورفولوژی بستر حوضچه- خیزآب^۲ تبدیل می‌شود. این مشخصه یکی از ویژگی‌های بسیار بازه این بازه نسبت به سایر بازه‌های است و از اهمیت زیادی در رابطه با حفظ تعادل و اکوژئومورفولوژی رودخانه برخوردار است. هرچند که توالی حوضچه- خیزآب تقریباً در همه کانال‌های دائمی دارای مواد بستر بزرگ‌تر از مasse درشت ظاهر می‌شوند، ویژگی بازه رودخانه‌هایی با بستر گراولی به‌شمار می‌رودن (مونت‌گومری و بافینگتون، ۱۹۹۷؛ ۱۹۶۴-۱۹۶۱؛ لتوپلد و همکاران، ۱۹۶۴؛ لتوپلد و وولمن، ۱۹۵۷؛ ۱۹۳۹-۱۹۸۵). توالی‌های حوضچه- خیزآب دارای طیف متنوعی از اندازه مواد بستر با یک لایه درشت بر روی لایه سطحی و یک لایه ریزتر زیرسطحی‌اند. معمولاً، توالی‌های حوضچه- خیزآب در شیب‌های پایین عموماً کمتر از ۲ درصد به‌وجود می‌آیند (مونت‌گومری و بافینگتون، ۱۹۹۷؛ ۱۹۹۹؛ مادج، ۱۹۹۱؛ کارلینگ، ۱۹۹۱؛ ۱۹۹۱-۱۹۳۱). نوع غالب مورفولوژی پلان‌فرم یک توالی حوضچه- خیزآب الگوی مئاندری است که طول یک فرم بستر موج ایجاد کرده‌اند. در این بازه، حوضچه‌ها به صورت آزاد^۳ شکل گرفته‌اند (برای نمونه، شکل ۱۸) و هیچ‌گونه حوضچه تحمیلی یا ناشی از موانع انسدادی مشاهده نشد. در کل مجرای مطالعاتی زرینه رود، فقط چند مورد حوضچه‌انسدادی یا تحمیلی در بازه‌های ۳ و ۴ ناشی از سنگ‌چینی در داخل مجرای رودخانه ایجاد شده است.



شکل ۱۷. نمودار گرانولومتری نمونه رسوب در بالادست بازه ۲ با ۰/۲۷۵ درصد گراول، ۰/۴۲۴ درصد ماسه، و ۰/۴۲ درصد سیلت و رس



شکل ۱۹. نمونه‌ای از مقطع نوع C در بازه ۲

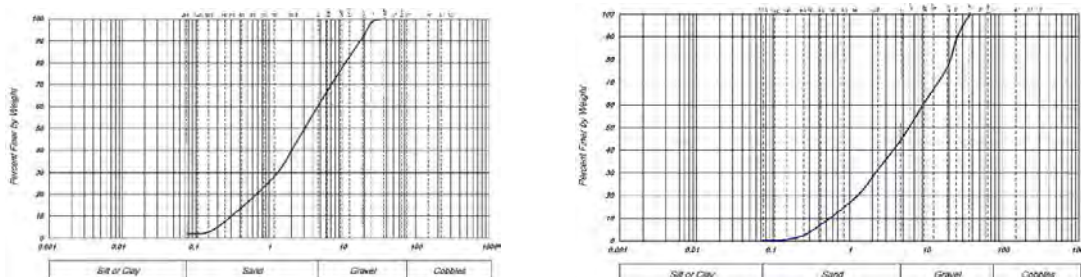


شکل ۱۸. مورفولوژی حوضچه- خیزآب- پشتہ و مهاجرت مئاندر توأم با ناپایداری ژئومکانیکی در کناره‌های مرتفع رسی

1. Undermined
2. Pool-Riffle
3. Freely

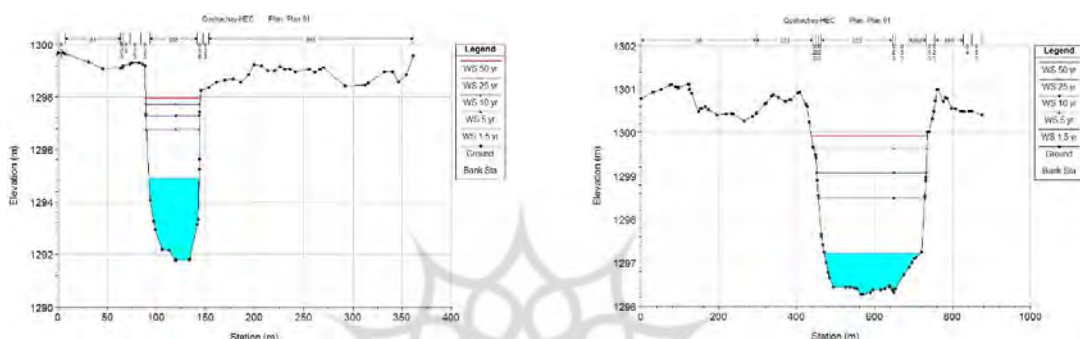
بازه ۳

بازه ۳ از پنج کیلومتری پایاب سد انحرافی نوروزلو تا پایین دست شهر میاندوآب در اغلب مقاطعه تبدیل به رودخانه نوع G و F می‌شود (شکل‌های ۲۲ و ۲۳). به دلیل دخالت‌های انسانی، آشفتگی‌های زیادی در این بازه وجود دارد که وارسی‌های مجدد میدانی و اعمال مفهوم پیوستگی رزگن را اجتناب‌ناپذیر می‌کند. این بازه، با توجه به دو پارامتر ممیزی مهم، یعنی نسبت گودشده‌گی و نسبت عرض به عمق به نوع G و F تعلق دارد که، با توجه به مواد تشکیل‌دهنده بستر و میزان شیب، به سه نوع G5c، F4، و F5 تفکیک‌شدنی است. مقادیر نسبت گودشده‌گی نزدیک به مقدار آستانه گذار این نوع رودخانه یعنی $1/4$ است. در حالی که مقادیر نسبت عرض به عمق بسیار متغیر است. درواقع، اختلاف اساسی بین رودخانه‌های G و F مربوط به مقادیر پارامتر نسبت عرض به عمق است. مواد بستر رودخانه در بخش‌های بالادست، گراول ماسه‌ای (شکل ۲۰)، و در بخش‌های پایین دست از نوع ماسه گراولی (شکل ۲۱) است. در این بازه، یک نوع تبدیل از نوع C (C4 در بالادست و C5 در پایین دست) به نوع G و F قابل تصور است. این تبدیل به واسطه کف کنی^۱ منتج از فرایندهای طبیعی (از قبیل فعالیت‌های نئوتکتونیکی) صورت نگرفته است؛ بلکه دلیل اساسی آن در ارتباط با دخالت‌های بسیار گسترده آنتروپوژنیک بوده است. در این بازه، برداشت شن و ماسه در مقیاسی بسیار وسیع و نظارت‌نشده از بستر و کناره‌های رودخانه صورت می‌گیرد. علاوه بر این، در بالادست این بازه سد انحرافی نوروزلو به عنوان یک تله رسوبی عمل می‌کند. می‌توان بیان کرد که در این بازه برداشت رسوب بیش از آوردهای رسوبی است. بستر رودخانه تا چندین متر گود افتاده (برای نمونه، شکل‌های ۲۲ و ۲۳) و کناره‌های رودخانه غالباً با شبیه تندر و عمودی از دشت سیلابی جدا و محصور شده است؛ به نحوی که حتی سیلابهایی با دوره بازگشت پنجاه‌ساله نیز قادر به پُرکردن بیشتر مقاطعه عرضی رودخانه نیستند. تأثیر گودافتادگی بر پهنه‌های سیل‌گیر این بازه‌ها به‌وضوح نمایان است (شکل ۷). بنابراین، ارتباط مجرای رودخانه با دشت سیلابی خود قطع شده است. اتفاقاً مجرای رودخانه از دشت سیلابی را می‌توان به کل بازه ۳ و بخش‌های زیادی از بالادست بازه ۴ تعمیم داد. در این بازه، افزایش مقادیر پارامتر نسبت عرض به عمق و تبدیل رودخانه به نوع F به دلیل برداشت شن و ماسه از کناره‌های رودخانه و منطقه رودکنار است. در بخش اعظمی از این دو بازه، کناره‌ها با شبیه تندر از دشت سیلابی منفك شده است. به واسطه فعالیت‌های استخراج شن و ماسه، مورفلوژی حوضچه- خیزآب از بین رفته و بستر رودخانه بسیار نامنظم شده است؛ حتی، در مواردی، برداشت‌های نابرابر شن و ماسه به ایجاد نقاط کنیک در بستر رودخانه منجر شده است. در برخی موارد، برداشت به صورت گزینشی صورت گرفته و، با غربال کردن، رسوبات در اندازه ماسه برداشت شده و گراول‌ها در محل باقی مانده‌اند. پلان فرم رودخانه درنتیجه اقدامات انسانی به کلی دگرگون و به شبیه‌ماندری و مثاندری توسعه‌نیافته تبدیل شده است. این امر به صورت افت ناگهانی ضربی خمیدگی و زاویه مرکزی در محدوده این بازه انعکاس یافته است. بنابراین، تمایل مجرای رودخانه از دخالت‌های انسانی به صورت برداشت شن و ماسه (مخصوصاً رسوبات پشت‌های کناره‌های محدب به عنوان یکی از ارکان اساسی حفظ و توسعه الگوی مثاندری) و کانالیزه‌شدن مجاور در محدوده شهر میاندوآب است. رودخانه‌های نوع G5، F4، و F5 دارای پتانسیل بازیابی بسیار ضعیف، تأمین رسوب بسیار بالا، پتانسیل بسیار بالای فرسایش کناره، و کنترل بالای پوشش گیاهی است. در این بازه، این مشخصه‌ها به دلیل دخالت‌های بسیار گسترده انسانی از نمود چندانی برخوردار نیست و می‌توان گفت که مدل رزگن در تبیین فرایندهای ژئومورفیک حاکم بر این بازه از کارایی پایینی برخوردار است. این بازه، از نظر دینامیک عرضی طبیعی، یک بازه مرده به‌شمار می‌رود.



شکل ۲۱. نمودار گرانولومتری نمونه رسوب در پایین دست بازه ۳ با ۳۹/۲ درصد گراول، ۵۹/۰ درصد ماسه، و ۸/۱ درصد سیلت و رس

شکل ۲۰. نمودار گرانولومتری نمونه رسوب در بالادست بازه ۳ با ۵۵/۲ درصد گراول، ۴۴/۶ درصد ماسه، و ۲/۲ درصد سیلت و رس



شکل ۲۳. نمونه‌ای از مقطع نوع G در پایین دست بازه ۳

شکل ۲۲. نمونه‌ای از مقطع نوع F در بالادست بازه ۳

بازه ۴

برای بازه ۴، پارامترهای ممیزی مدل رزگن نشان‌دهنده نوع C است که، با توجه به مواد دربرگیرنده مجرای و میزان شیب، به نوع C5b تعلق دارد. میانگین نسبت گودشگی ۱/۶ با ضریب تغییرات ۶/۲۳ درصد است. در این بازه، پهنه‌های سیل‌گیر به دلیل دخالت‌های انسانی کاهش یافته است. نواحی سیل‌گیر عمدهاً منطبق بر پشت‌های پیچشی توسعه یافته در کناره‌های محدب مئاندرهاست. دخالت‌های آتروپوژنیک، به صورت احداث خاکریزها و برداشت ماسه، به کاهش مقادیر نسبت گودشگی منجر شده است. میانگین نسبت عرض به عمق ۲۸/۲ با ضریب تغییرات ۲/۲۰ درصد است. این نسبت از حداقل ۳/۲۰ تا حداً کثر ۷/۳۷ متغیر است. مواد تشکیل‌دهنده بستر در بخش‌های بالادست از نوع ماسه درشت‌دانه است که به سمت پایین دست از قطر ماسه‌ها کاسته می‌شود (شکل‌های ۲۴ و ۲۵). از لایه نازک رسی موجود در برخی بخش‌های این بازه صرف‌نظر شد. این لایه به دلیل کاهش محسوس دبی و آبهای راکد موجود در حوضچه‌ها در طی فصول خشک ایجاد شده است. دخالت‌های انسانی به صورت کاهش محسوس دبی، برداشت بی‌رویه ماسه، و احداث خاکریزها (درجه‌ت مقابله با سیلاب) مورفولوژی رودخانه را به شدت تحت تأثیر قرار داده است. هرچند برداشت ماسه در مقیاس وسیع صورت می‌گیرد، پلان فرم مجرای هنوز الگوی مئاندری خود را تا حدودی حفظ کرده است و زاویه مرکزی در اغلب بخش‌ها منعکس‌کننده یک پلان فرم مئاندری توسعه یافته است. در این بازه، رسوبات (ماسه) پشت‌های پیچشی کناره‌های محدب مجرای در حال استخراج است که ادامه این روند به ایجاد میانبرهای مصنوعی و تبدیل آن به یک الگوی متمایل به مستقیم یا شبه‌مئاندری منجر می‌شود؛ امری که در برخی از بخش‌ها رخ داده و به صورت مقادیر پایین ضریب خمیدگی و زاویه مرکزی نمایان شده است. در این بازه، هرچند که بین دشت سیلابی و مجرای رودخانه ارتباط محدودی برقرار است، با ادامه روند کنونی برداشت بی‌رویه ماسه، تبدیل این بازه به نوع F بسیار محتمل است. این بازه، به دلیل

آشنتگی‌های آنтропوژنیک، از ویژگی‌های تبییک انواع رودخانه‌های C برخوردار نیست و بهتر است بازه‌ای در حال تبدیل از نوع C به نوع F درنظر گرفته شود.

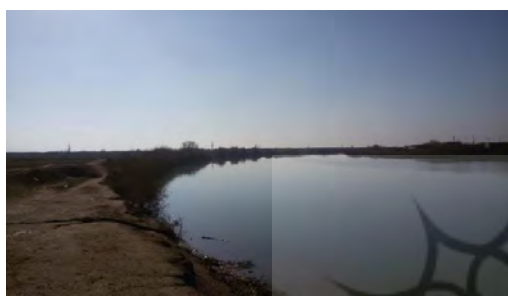
بازه ۵

بازه ۵ به نمونه‌ای از رودخانه‌های نوع E تبدیل می‌شود که، با توجه به مواد بستر و شیب، به دو نوع فرعی E5b در بالا دست و E6b در پایین دست تفکیک شدنی است. در این بازه، دشت سیلانی بسیار وسیع و توسعه‌یافته است و، با توجه به محدودبودن خاکریزهای رودکنار، استخراج محدود رسوبات بستر (به دلیل غلبه ماسه‌های بسیار ریزدانه، سیلت، و رس)، و شیب بسیار کم (شکل ۲۶)، پهنه‌های سیل‌گیر برای دوره‌های بازگشت بالاتر افزایش محسوسی می‌باید. به همین دلیل، نسبت گودشده‌گی مقادیر بالایی را نشان می‌دهد (گودشده‌گی اندک) و از مقاطع عرضی ترسیم شده فراتر می‌رود. میانگین نسبت گودشده‌گی بیش از ۲۱/۵ است. عرض ماجرا به دلیل چسبندگی مواد کناره کاهش می‌یابد (شکل ۲۷) و درنتیجه، نسبت عرض به عمق مقادیر پایینی (کمتر از ۱۴) را نشان می‌دهد. ماسه‌های ریزدانه، سیلت، و رس مواد غالب بستر و کناره‌های رودخانه را تشکیل می‌دهد. رودخانه‌های نوع E دارای تأمین رسوب پایین، پتانسیل متوسط فراسایش کناره، و کنترل بسیار بالای پوشش گیاهی است. این رودخانه‌ها در حمل رسوب بسیار کارآمدند. انرژی رودخانه پایین است و اتلاف انرژی از طریق مئاندرها، اشکال بستر، و پوشش گیاهی صورت می‌گیرد. در این بازه، توان رودخانه به علت کاهش شیب افت محسوسی می‌باید. کاهش محسوس شیب در ارتباط با نزدیک شدن رودخانه به سطح اساس (چاله ارومیه) و پلان فرم مئاندری توسعه‌یافته است؛ به گونه‌ای که در بخش‌های انتهایی این بازه جریان بسیار آرام توأم با پس زدگی آب مشاهده می‌شود. به علت کاهش محسوس دبی در طی سال‌های گذشته، مئاندرهای رودخانه مهاجرت بسیار محدودی داشته‌اند. درصد درخور توجه‌ی از مواد بستر و کناره‌های رودخانه متشکل از سیلت و رس است و در بخش‌های پایین دست تقریباً به طور کامل به شیب ملائم کناره‌ها و پوشش گیاهی توأم شده و کناره‌هایی پایدار را به وجود آورده‌اند. بسیار زیادی برخوردارند که با شیب ملائم کناره‌ها و پوشش گیاهی توأم شده و کناره‌هایی پایدار را به وجود آورده‌اند. پوشش گیاهی و رسوبات چسبناک پایداری کناره را افزایش می‌دهند (وان دیجک، ۲۰۱۳: ۲۰-۲۲). پلان فرم رودخانه از نوع مئاندری بیش از حد توسعه‌یافته است و مقدار سینوزیته در حدود ۱/۵ است. هرچند، به دلیل میزان پایین مهاجرت مئاندرها، فقط یک مورد از اشکال ژئومورفیکی نعل اسپی در اطراف رودخانه وجود دارد که بر کهای را تشکیل داده است. در این بازه، شکل‌گیری الگوی مئاندری توسعه‌یافته در ارتباط با توان پایین رودخانه و مواد کناره چسبناک است. در یک دشت سیلانی چسبناک رسی رودخانه‌های مئاندری توسعه می‌یابند (گیبلینگ و دیویس، ۲۰۱۲؛ کلینهانس، ۱۰۵-۹۹: ۲۰۱۰؛ ۲۸۷-۳۲۶). به علت شیب بسیار اندک ماجرا و دشت سیلانی، تغییر مسیرهای ناگهانی (البته نادر) می‌تواند یکی از فرایندهای تحول رودخانه در این بازه درنظر گرفته شود.

| SAMPLE STATISTICS | | | | | |
|---|-----------------------------|-----------|-------------------------|--------------------|---------------------|
| SAMPLE IDENTITY: | ANALYST & DATE: | | TEXTURAL GROUP: | | |
| SAMPLE TYPE: | Unimodal, Moderately Sorted | | Gravely Sand | | |
| SEDIMENT NAME: Very Fine Gravelly Medium Sand | | | | | |
| | μm | # | GRAIN SIZE DISTRIBUTION | | |
| MODE 1: | 460.0 | 1.126 | GRAVEL | 14.7% | COARSE SAND: 29.0% |
| MODE 2: | | | SAND | 85.3% | MEDIUM SAND: 37.0% |
| MODE 3: | | | MUD | 0.0% | FINE SAND: 2.2% |
| D ₁₀ : | 318.2 | -1.374 | | | V FINE SAND: 0.1% |
| MEDIAN or D ₅₀ : | 646.2 | 0.620 | V COARSE GRAVEL: | 0.0% | V COARSE SILT: 0.0% |
| D ₅₀ : | 2592.2 | 1.652 | COARSE GRAVEL: | 0.0% | COARSE SILT: 0.0% |
| (D ₁₀ / D ₅₀) | 8.147 | -1.202 | MEDIUM GRAVEL: | 0.0% | MEDIUM SILT: 0.0% |
| (D ₅₀ / D ₉₀) | 2274.1 | 3.026 | FINE GRAVEL: | 0.0% | FINE SILT: 0.0% |
| (D ₁₀ / D ₂): | 2.972 | -2.972 | V FINE GRAVEL: | 14.7% | V FINE SILT: 0.0% |
| (D ₅₀ / D ₂): | 872.9 | 1.571 | V COARSE SAND: | 17.0% | CLAY: 0.0% |
| METHOD OF MOMENTS | | | | | |
| | Arithmetic | Geometric | Logarithmic | FOLK & WARD METHOD | |
| MEAN (μm) | 656.5 | 262.3 | 6.602 | μm | # |
| SORTING (σ) | 493.6 | 8.446 | 0.784 | 778.0 | 0.362 |
| SKEWNESS (Sk) | 0.873 | -1.923 | 0.099 | 1,908 | 0.932 |
| KURTOSIS (Kt) | 3.210 | 5.123 | 2.439 | -0.143 | Coarse Skewed |
| | | | | | Very Platykurtic |

| SAMPLE STATISTICS | | | | | |
|---|-------------------------|-----------|-------------------------|--------------------|--------------------|
| SAMPLE IDENTITY: | ANALYST & DATE: | | TEXTURAL GROUP: | | |
| SAMPLE TYPE: | Unimodal, Poorly Sorted | | Gravely Sand | | |
| SEDIMENT NAME: Very Fine Gravelly Medium Sand | | | | | |
| | μm | # | GRAIN SIZE DISTRIBUTION | | |
| MODE 1: | 338.0 | 1.626 | GRAVEL | 29.7% | COARSE SAND: 20.4% |
| MODE 2: | | | SAND | 70.3% | MEDIUM SAND: 25.1% |
| MODE 3: | | | MUD | 0.0% | FINE SAND: 8.1% |
| D ₁₀ : | 251.4 | -2.109 | V COARSE GRAVEL: | 0.0% | V FINE SAND: 1.7% |
| MEDIAN or D ₅₀ : | 835.9 | 0.259 | COARSE GRAVEL: | 0.0% | COARSE SILT: 0.0% |
| D ₅₀ : | 4312.6 | 1.992 | MEDIUM GRAVEL: | 0.0% | MEDIUM SILT: 0.0% |
| (D ₁₀ / D ₅₀) | 17.16 | -0.345 | FINE GRAVEL: | 0.0% | FINE SILT: 0.0% |
| (D ₅₀ / D ₂): | 4061.2 | 4.101 | V FINE GRAVEL: | 29.7% | V FINE SILT: 0.0% |
| (D ₁₀ / D ₂): | 5.917 | -1.193 | V COARSE SAND: | 15.0% | CLAY: 0.0% |
| (D ₅₀ / D ₂): | 1869.3 | 2.565 | | | |
| METHOD OF MOMENTS | | | | | |
| | Arithmetic | Geometric | Logarithmic | FOLK & WARD METHOD | |
| MEAN (μm) | 551.9 | 101.9 | 0.630 | μm | # |
| SORTING (σ) | 572.3 | 17.58 | 1.094 | 746.8 | 0.421 |
| SKEWNESS (Sk) | 1.106 | -0.885 | 0.627 | 2.077 | 1.054 |
| KURTOSIS (Kt) | 3.375 | 2.007 | 2.684 | -0.423 | Poorly Sorted |
| | | | | | Very Fine Skewed |
| | | | | | Very Platykurtic |

شکل ۲۵. آماره‌های گرانولومتری نمونه‌ای از رسوب در پایین دست بازه ۴



شکل ۲۷. جریان آهسته آب و کناره‌های رسی با شیب ملایم و گودشده‌گی اندک باعث پایداری کناره‌ها در بازه انتهایی شده است

شکل ۲۶. دشت سیلانی هموار با مواد رسی و سطح آب زیرزمینی بالا در بازه انتهایی بالا



نتیجه‌گیری

در این پژوهش، رودخانه زرینه رود (جیغاتی چای) براساس سیستم ژئومورفولوژیکی رزگن بررسی شد. با وجود استفاده گسترده از این مدل، برخی محققان از آن انتقاد کردند. شاید جدی‌ترین انتقاد مربوط به روپر و همکاران (۲۰۰۸) با تأکید بر اختلافات محققان در تعیین انواع رودخانه رزگن باشد. آن‌ها عدم توافق اساسی محققان در تعیین انواع رودخانه رزگن را به اختلافات در تعیین مقادیر نسبت گوششگی نسبت می‌دهند. در این تحقیق، به واسطه ترکیب این مدل با مدل هیدرودینامیک HEC-RAS از برخی مسائل مطرح شده توسط این محققان اجتناب شد. اما، در دو بازه پایاب سد انحرافی نوروزلو (بازه‌های ۳ و ۴)، ناسازگاری‌هایی، بهویژه در رابطه با دو پارامتر نسبت گوششگی و نسبت عرض به عمق، باقی ماند که دلیل اساسی آن آشفتگی‌های شدید ناشی از عوامل آتربوپوژنیک است. در این موارد، از طریق بازدیدهای میدانی مجدد، نوع رودخانه تعیین شد. کارایی این مدل رزگن در بازه‌های ناسازگارند. در این بازه‌ها، فرم و الگوی رودخانه تا حد زیادی منعکس‌کننده تقریباً همه مقاطع با انواع رودخانه‌های رزگن ناسازگارند. در این بازه‌ها، فرم و الگوی رودخانه تا حد زیادی منعکس‌کننده فرایندهای حاکم بر مجرای رودخانه است و مورفولوژی در کنترل تغییرات توان رودخانه و تغییرپذیری شرایط کناره و رودکنار است. فرسایش شدید کناره در برخی بخش‌ها همراه تغییرات کاربری اراضی رودکنار از مهم‌ترین مسائل ژئومورفولوژیکی این بازه‌ها بهشمار می‌آید. در دو بازه ۳ و ۴، به سبب کنترل شدید عوامل آتربوپوژنیک، توانایی تبیین مدل رزگن محدود می‌شود و ناسازگاری‌ها و تناقض‌هایی در رابطه با تعیین نوع رودخانه رزگن دیده می‌شود. در این بازه‌ها، مشابه کار روپر و همکاران (۲۰۰۸) در منطقه اورگان امریکا به مقاطعی برخورد شد که با هیچ یک از انواع رودخانه رزگن هم خوانی نداشت و، یا بر عکس، برخی از مقاطع یک نوع از رودخانه منحصر به فرد را نشان ندادند. اما در حالت کلی، بیشتر مقاطع بازه واقع در پایاب سد انحرافی نوروزلو تا شهر میاندوآب (بازه ۳) از نوع C, F, و G است. درواقع، به دلیل برداشت بی‌رویه شن و

ماسه و گودشده‌گی بستر مجرأ و همچنین احداث خاکریزهای سیل‌بند، ارتباط مجرای رودخانه با دشت سیلابی خود قطع شده است. بازه ۴، در پایین دست بازه فوق، هرچند از نوع رودخانه C رزگن است، فرایندهای مشخص این نوع از رودخانه‌ها را نشان نمی‌دهد. این بازه در حال تبدیل از نوع C به نوع F (به دلیل برداشت ماسه از کناره‌ها و افزایش نسبت عرض به عمق) است. درواقع، تغییرات آنتروپوژنیک در این بازه باعث شده است تا فرم رودخانه در یک حالت گذار باشد. بازه انتهایی رودخانه زرینه‌رود به نمونه مشخصی از رودخانه‌های نوع E تبدیل می‌شود. برداشت بسیار محدود مواد بستر (به علت غلبة ماسه‌های بسیار ریزدانه با درصد قابل توجه سیلت و رس) وجود دشت سیلابی هموار و وسیع باعث افزایش مقادیر پارامتر نسبت گودشده‌گی شده است. بر عکس، چسبندگی زیاد مواد کناره، به دلیل وجود سیلت و رس فراوان، به کم‌عرض شدن مجرأ و کاهش مقادیر پارامتر نسبت عرض به عمق لب‌پری منجر شده است.

رزگن (۱۹۹۷) چهار اولویت را در رویکرد ژئومورفولوژیکی خود برای بازسازی رودخانه‌های کف‌کنده^۱ ارائه کرد که به ترتیب اولویت شامل بازگردانی رودخانه به ارتفاع اولیه خود و ارتباط مجدد دشت‌های سیلابی، گسترش و عریض کردن عرض کمربند جهت ایجاد یک کانال جدید در ارتفاع موجود، تغییر نوع رودخانه‌ها، و تثبیت کانال کف‌کننده موجود در محل است. با عطف به اینکه احیا و بازسازی رودخانه‌های نوع G و F دشوار است، بهتر است، با اعمال محدودیت‌هایی در زمینه برداشت ماسه، از تبدیل بازه پایین دست میاندوآب (بازه ۴) به نوع G و F جلوگیری شود. برای بازه‌های نوع F و G، اولویت اول، به دلیل تراکم بالای جمعیتی منطقه و افزایش احتمال رخداد سیلاب، پیشنهاد نمی‌شود. با توجه به نوع غالب رودخانه در این بازه، یعنی نوع F (با نسبت عرض به عمق بالا) اولویت دوم- یعنی تبدیل نوع F و یا G به C یا E و برقراری مجدد دشت سیلابی در ارتفاع موجود یا بالاتر و نه در تراز اولیه پیشنهاد می‌شود.



منابع

- خیریزاده آروق، م. (۱۳۹۵). تحلیل مورفودینامیک و تغییرات جانبی مجرای رودخانه زرینه رود (از شاهیندز تا دریاچه ارومیه)، رساله دکتری، دانشکده جغرافیا و برنامه‌ریزی، دانشگاه تبریز.
- خیریزاده آروق، م؛ رضایی مقدم، م.ح؛ رجبی، م. و دانشفرار، ر. (۱۳۹۶). تحلیل تغییرات جانبی مجرای رودخانه زرینه رود با استفاده از روش‌های ژئومورفومتریکی، پژوهش‌های ژئومورفولوژی کمی، ۵(۴): ۷۶-۱۰۲.
- روستایی، ش؛ خورشیددوست، ع.م. و خالقی، س. (۱۳۹۲). ارزیابی مورفولوژی مجرای رودخانه لیقوان با روش طبقه‌بندی راسگن، پژوهش‌های ژئومورفولوژی کمی، ۱(۴): ۱-۱۶.
- لایقی، ص. و کرم، ا. (۱۳۹۳). طبقه‌بندی هیدرولوژیکی رودخانه جاجرود با مدل رزگن، پژوهش‌های ژئومورفولوژی کمی، ۳(۳): ۱۳۰-۱۴۳.
- یمانی، م. و تورانی، م. (۱۳۹۳). طبقه‌بندی ژئومورفولوژیکی الگوی آبراهه طالقان رود در محدوده شهرک طالقان از طریق روش رزگن، پژوهش‌های جغرافیای طبیعی، ۲(۴۶): ۱۸۳-۱۹۸.
- Ashmore, P. (1991). Channel morphology and bed load pulses in braided, gravel-bed streams, *Geografiska Annaler, Series A, Physical Geography*, 73: 37-52.
- Carling, P. (1991). An appraisal of the velocity-reversal hypothesis for stable pool-riffle sequences in the River Severn, England, *Earth Surface Processes and Landforms*, 16: 19-31.
- Committee on American River Flood Frequencies, National Research Council. (1999). Improving American river flood frequency analyses, National Academy Press.
- Crosato, A. (2008). Analysis and modelling of river meandering, PhD thesis, Published and distributed by IOS Press under the imprint Delft University Press.
- Garde, R.J. (2006). River morphology, New Age International (P) Ltd., Publishers, 479p.
- Gibling, M.R. and Davies, N.S. (2012). Palaeozoic landscapes shaped by plant evolution, *Nature Geoscience*, 5: 99-105.
- HEC (Hydrologic Engineering Center) (2010). HEC-RAS river analysis system, hydraulic reference manual, U. S. Army Corps of Engineers.
- Hicks, D.M., Gomez, B and Trustrum, N.A. (2000). Erosion thresholds and suspended sediment yields, Waipaoa river basin, New Zealand. *Water Resources Research*, Vol. 36, No. 4, pp. 1129-1142.
- Keirizadeh, M.; Rezaei Moghaddam, M.H.; Rajabi, M. and Daneshfaraz, R. (2017). Analyzing Lateral Changes of the Zarrineh-Roud River Channel Using Geomorphometric Techniques, *Quantitative geomorphological researches*, 5(4): 76-102. (In Persian).
- Kheirizadeh Arouq, M. (2017). Analysis of Morphodynamics and Channel Lateral Changes of the Zarrineh-Rud River (From Shahin-Dejh to Urmia Lake), PhD thesis, Faculty of Geography and Planning, University of Tabriz. (In Persian).
- Kleinhan, M.G. (2010). Sorting out river channel patterns, *Progress in Physical Geography*, 34: 287-326.
- Kleinhan, M.G. and Van den Berg, J.H. (2011). River channel and bar patterns explained and predicted by an empirical and physics-based method, *Earth Surface Processes and Landforms*, 36: 721-738.
- Kondolf, G. Mathias and Piegay, H. (2003). Tools in fluvial geomorphology, John Wiley & Sons Ltd, 688 P.
- Lauer, J. and Parker, G. (2008). Net local removal of floodplain sediment by river meander migration, *Geomorphology*, 96: 123-149.
- Layeghi, S. and Karam, A. (2014). Hydrogeomorphological classification of Jajroud River using Rosgen model, *Quantitative geomorphological researches*, 3(3): 130-143. (In Persian).

- Leopold, L.B. and Wolman, M.G. (1957). River channel patterns: braided, meandering, and straight, Geological Survey Professional Paper 282-B. United Sates Government Printing Office, WA, USA. pp. 39-85.
- Leopold, L.B.; Wolman, M.G. and Miller, J.P. (1964). Fluvial Processes in Geomorphology, Dover Publications Inc., New York, NY. USA. 504p.
- Madej, M.A. (1999). Temporal and spatial variability in thalweg profiles of a gravel-bed river, Earth Surface Processes and Landforms, 24(12): 1153-1169.
- Martin, Derek J. (2005). Geospatial analysis of gravel bar deposition and channel migration within the Ozark national scenic riverways, Missouri (1955-2003). A thesis presented to the graduate college Of Southwest Missouri State University in partial fulfillment of the requirements for the degree master of science, geospatial sciences. 109p.
- Merwade, V.M. (2004). Geospatial description of river channels in three dimensions, Doctoral thesis, The University of Texas at Austin.
- Montgomery, D.R. and Buffington, J.M. (1997). Channel reach morphology in mountain drainage basins, Geological Society of America Bulletin, 109(5): 596-611.
- Natural Resources Conservation Service (2008). Stream restoration design (National Engineering Handbook 654), Technical Supplement 3E: Rosgen Stream Classification Technique-Supplemental Materials, United States Department Agriculture.
- Paola, C.; Mullin, J.; Ellis, C.; Mohrig, D.C.; Swenson, J.B.; Parker, G.; Hickson, T.; Heller, P.L.; Pratson, L.; Syvitski, J.; Sheets, B. and Strong, N. (2001). Experimental stratigraphy, GSA Today, 11(7): 4-9.
- Parker, G. (1979). Hydraulic geometry of active gravel rivers, Journal of the Hydraulic Division, American Society of Civil Engineers, 105: 1185-1201.
- Roper, Brett B.; Buffington, John M.; Archer, E.; Moyer, Ch. and Ward, M. (2008). The role of observer variation in determining rosgen system types in northeastern Oregon mountain streams, Journal of the American water resources association, 44(2): 417- 427.
- Rosgen, David L. (1994). A classification of natural rivers, Catena, 22: 169-199.
- Rosgen, David L. (1997). A geomorphological approach to restoration of incised rivers, Proceedings of the Conference on Management of Landscapes Disturbed by Channel Incision, pp: 1-11
- Roustaei, Sh.; KhorshidDoust, A.M. and Khaleghi, S. (2013). Evaluating morphology of Liqvan-Chay river channel using Rosgen classification, Quantitative geomorphological researches, 1(4): 1-16. (In Persian).
- Shroder, John F. (2013). Treatise on geomorphology, Vol. 9: treatise on fluvial geomorphology, Elsevier Inc, 860p.
- The Federal Interagency Stream Restoration Working Group (2001). Stream corridor restoration: principles, processes, and practices, Adopted part 653 of National Engineering Handbook, USDA-Natural Resources Conservation Service.
- Van Dijk, W. M. (2013). Meandering rivers - feedbacks between channel dynamics, floodplain and vegetation. PhD thesis, Department Physical Geography Faculty of Geosciences, Utrecht University, 206p
- Yamani, M. and Toorani, M. (2014). Geomorphological Classification of Taleghan River Pattern in Taleghan Town by Rozgen Method, Physical geography research quarterly, 46(2): 183-198. (In Persian).
- Zolezzi, G.; Luchi, R. and Tubino, M. (2012). Modeling morphodynamic processes in meandering rivers with spatial width variations, Rev. Geophys, 50, RG4005: 1-24.